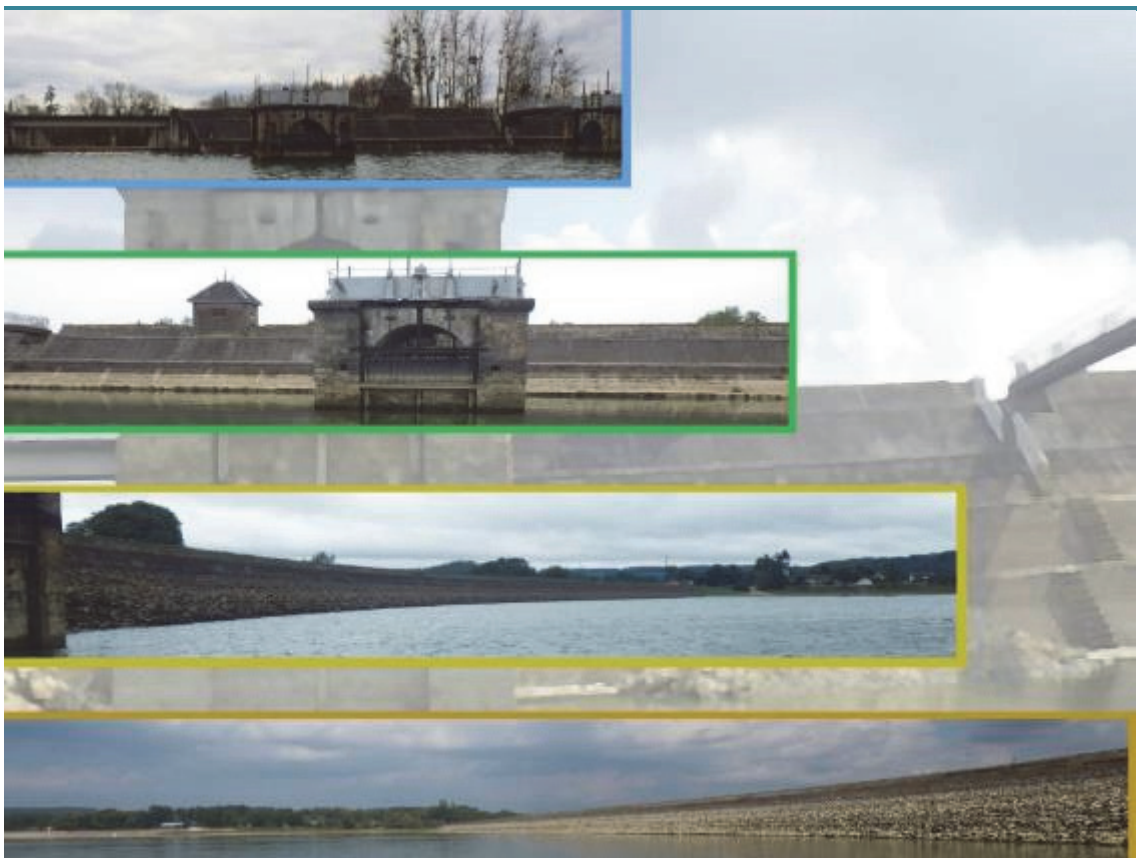


Surveillance de la Qualité des Plans d'Eau des Bassins Rhône Méditerranée Corse

- Suivi 2014 -

Rapport de données et d'interprétation
Retenue de Villegusien (ou Vingeanne)



Octobre 2015



Papier recyclé



Propriétaire du rapport : Agence de l'eau Rhône Méditerranée Corse
2-4, Allée de Lodz
69363 LYON Cedex 07

Interlocuteur : M. Loïc IMBERT

Titre : Surveillance de la qualité des plans d'eau des bassins Rhône Méditerranée Corse – Suivi 2014 – Rapport de données et d'interprétation – Retenue de Villegusien (ou Vingeanne).

Mots-Clés : Agence de l'eau Rhône Méditerranée Corse, Programme de surveillance, DCE, suivi 2014, plans d'eau, Côte-d'Or, retenue de Villegusien (Vingeanne).

Numéro de rapport : 2805FB15
Date : Octobre 2015
Statut du rapport : Rapport provisoire

Auteurs : Arnaud OLIVETTO
François BOURGEOT

Travail de laboratoire: Bianca TOUCHART & Jeanne RIGAUT (Phytoplancton)
Emmanuel MICHAUT (Oligochètes)

Nombre d'ex. édités : 1
Nb de pages (+annexes) : 32 (+41)

Réalisation :



GREBE eau - sol - environnement

Groupe de Recherche et d'Etude: Biologie et Environnement
23, rue St-Michel - 69007 LYON
Tél.: 04 72 71 03 79 - Fax: 04 72 72 06 12
courriel: contact@grebe.fr

SOMMAIRE

PREAMBULE	6
1. INTRODUCTION	7
1.1 ORGANISATION DU RAPPORT	7
1.2 TYPOLOGIE NATURELLE DES PLANS D'EAU	7
2. PROTOCOLES DE PRELEVEMENT ET D'ANALYSE	8
2.1 PHYSICO-CHIMIE DES EAUX ET DU SEDIMENT	8
2.1.1 CAMPAGNES DE MESURES	8
2.1.2 PRELEVEMENTS	8
2.1.3 PARAMETRES MESURES	9
2.2 COMPARTIMENTS BIOLOGIQUES	10
2.2.1 PHYTOPLANCTON	10
2.2.2 OLIGOCHETES (IOBL)	11
3. CONTEXTE GENERAL ET CARACTERISTIQUES DU PLAN D'EAU	13
4 PHYSICO-CHIMIE DES EAUX ET DES SEDIMENTS	17
4.1 PHYSICO-CHIMIE DES EAUX	17
4.1.1 PROFILS VERTICAUX	17
4.1.2 PARAMETRES DE MINERALISATION	18
4.1.3 RESULTATS DES ANALYSES PHYSICO-CHIMIQUES DES EAUX HORS MICROPOLLUANTS	19
4.1.4 MICROPOLLUANTS MINERAUX	20
4.1.5 MICROPOLLUANTS ORGANIQUES	21
4.2 PHYSICO-CHIMIE DES SEDIMENTS	22
4.2.1 PHYSICO-CHIMIE DES SEDIMENTS HORS MICROPOLLUANTS	22
4.2.2 MICROPOLLUANTS MINERAUX	23
4.2.3 MICROPOLLUANTS ORGANIQUES	23
5 COMPARTIMENTS BIOLOGIQUES	25
5.1 PHYTOPLANCTON	25
5.2 OLIGOCHETES	29
ANNEXES	32
LISTE DES MICROPOLLUANTS ANALYSES SUR EAU	33
LISTE DES MICROPOLLUANTS ANALYSES SUR SEDIMENTS	42
COMPTEES RENDUS DES CAMPAGNES DE PRELEVEMENTS PHYSICO-CHIMIQUES ET PHYTOPLANCTONIQUES	46
RAPPORT D'ANALYSE PHYTOPLANCTON	60
RAPPORT D'ANALYSE OLIGOCHETES	68

PREAMBULE

Cette étude de diagnostic écologique de plans d'eau a été réalisée dans le cadre du programme de surveillance établi lors de la mise en œuvre de la directive cadre européenne sur l'eau (DCE)¹, prescrivant une atteinte de « bon état » écologique des masses d'eau en 2015. En application de cette dernière, il est demandé à chaque état membre d'évaluer l'état écologique des masses d'eau d'origine naturelle ou le potentiel écologique des masses d'eau fortement modifiées et artificielles.

L'agence de l'eau Rhône Méditerranée Corse a mandaté le bureau d'études GREBE pour l'acquisition de données écologiques sur un certain nombre de masses d'eau de plans d'eau (MEPE) de plus de 50 hectares du nord du bassin. Les prestations ont été réalisées en application de l'arrêté du 25 janvier 2010² établissant le programme de surveillance de l'état des eaux.



Retenue de Villegusien (Vingeanne) le 09/09/14

¹ DCE. Cadre pour une politique communautaire dans le domaine de l'eau. Directive 2000/60/CE.

² Ministère de l'environnement, de l'énergie, du développement durable et de la mer, en charge des technologies vertes et des négociations sur le climat. Arrêté du 25 janvier 2010 établissant le programme de surveillance de l'état des eaux en application de l'article R. 212-22 du code de l'environnement.

1. INTRODUCTION

1.1 Organisation du rapport

Les résultats du suivi de l'année 2014 sont présentés sous la forme d'un rapport de données brutes et d'interprétation commentée des résultats, présentant également les méthodologies mises en œuvre et les rapports de campagnes de terrain.

1.2 Typologie naturelle des plans d'eau

La typologie naturelle des plans d'eau utilisée dans le rapport est définie dans l'arrêté du 12 janvier 2012³ relatif aux méthodes et aux critères à mettre en œuvre pour délimiter et classer les masses d'eau. La typologie est basée sur l'origine des plans d'eau (naturelle ou anthropique), leur hydro-écorégion⁴, la forme de leur cuvette et leur fonctionnement hydraulique. Les formes théoriques de cuvettes lacustres sont présentées *Figure 1*, et sont définies comme suit :

- *Forme L* : lac peu profond, zone littorale largement prépondérante, stratification thermique peu étendue et/ou instable (lac polymictique).
- *Forme P* : lac profond, stratification thermique stable (lac monomictique ou dimictique) et une zone littorale étendue, la cuvette pouvant être symétrique ou asymétrique.
- *Forme LP* : lac ayant à la fois une zone profonde stratifiée stable (monomictique ou dimictique) et une zone littorale étendue, la cuvette pouvant être symétrique ou asymétrique.

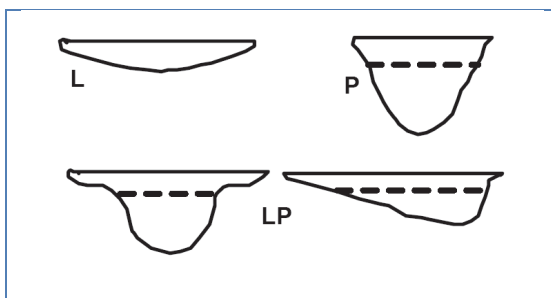


Figure 1 - Formes théoriques de la cuvette lacustre. La ligne pointillée indique la limite théorique de profondeur maximale de la thermocline en été (Figure issue de la circulaire 2005/11).

³ Ministère de l'environnement, de l'énergie, du développement durable et de la mer, en charge des technologies vertes et des négociations sur le climat. Arrêté du 12 janvier 2010 relatif aux méthodes et aux critères à mettre en œuvre pour délimiter et classer les masses d'eau et dresser l'état des lieux prévu à l'article R. 212-3 du code de l'environnement. Journal Officiel de la République Française.

⁴ Wasson, J. G., Chandesris, A., Pella, H., & Blanc, L. (Juin 2002). *Les hydro-écorégions de France métropolitaine, approche régionale de la typologie des eaux courantes et éléments pour la définition des peuplements de référence d'invertébrés*. Cemagref.

2. PROTOCOLES DE PRELEVEMENT ET D'ANALYSE

2.1 Physico-chimie des eaux et du sédiment

2.1.1 Campagnes de mesures

Quatre campagnes de mesure sont réalisées au cours de l'année :

- *campagne 1*: entre mi-février et fin mars (voire plus tard selon l'altitude), correspondant à la période de brassage et d'homothermie des eaux;
- *campagne 2*: mois de mai, correspondant au début de la période de stratification thermique;
- *campagne 3*: fin juillet / début août, correspondant à la période estivale;
- *campagne 4*: mois de septembre/octobre, correspondant à la fin de la période de production végétale et à la période de stratification maximale du plan d'eau, avant le refroidissement de la masse d'eau.

2.1.2 Prélèvements

2.1.2.1 Prélèvements d'eau

Les prélèvements d'eau sont réalisés au niveau du point de plus grande profondeur du plan d'eau. Dans le cas de retenues artificielles, une zone de sécurité interdite à la navigation, généralement matérialisée par une ligne de bouées, peut être présente à proximité des ouvrages. La zone de prospection se limite alors à l'extérieur de cette dernière. Deux profondeurs sont échantillonnées :

- la **zone euphotique**: elle correspond à 2,5 fois la transparence de l'eau. Cette dernière est mesurée à l'aide d'un disque de Secchi de 20 centimètres de diamètre, à quarts alternativement blanc ou noir.
- un premier échantillonnage est destiné aux analyses physico-chimiques classiques et dosage de micropolluants. Il est réalisé avec une bouteille à prélèvement verticale de type Van Dorn de 1,2 litre en téflon. Les prélèvements unitaires sont répartis sur l'ensemble de la zone euphotique puis homogénéisés dans un seau de 10 litres en polyéthylène haute densité (PEHD). Le contenu est ensuite versé directement dans les différents flaconnages ou à l'aide d'un entonnoir en PEHD dans le cas de contenants à col étroit. L'opération est répétée jusqu'à obtention du volume nécessaire aux analyses.
 - un second échantillonnage destiné aux analyses phytoplanctoniques et à la quantification de la chlorophylle *a* est réalisé à l'aide d'une bouteille intégratrice de type Pelletier en résine d'une contenance maximale de 1 litre pour une zone

d'échantillonnage de 18 mètres. Le volume d'eau échantillonné étant trop faible dans le cas d'une zone euphotique peu importante, l'échantillonnage est préférentiellement réalisé au moyen d'une bouteille verticale et d'une série de prélèvements unitaires sur l'étendue de la zone euphotique si celle-ci n'excède pas une profondeur de 4 mètres.

- la **zone profonde** est échantillonnée à profondeur fixe, à 1 mètre du sédiment, puis traitée de la même manière que l'échantillonnage de la zone euphotique. L'opération est répétée jusqu'à obtention du volume nécessaire aux analyses.

2.1.2.2 Prélèvements de sédiments

Les sédiments sont prélevés lors de la campagne 4 (septembre/octobre) à la benne Ekman, 15 cm x 15 cm. Le contenu est vidé dans un seau en PEHD, et l'opération répétée jusqu'à obtention d'un volume suffisant. Les sédiments sont transvasés dans les flaconnages à l'aide d'une petite pelle en PEHD.

2.1.3 Paramètres mesurés

Les analyses physico-chimiques de pleine eau ont été confiées au Laboratoire Santé Environnement Hygiène de Lyon (CARSO-LSEHL), et les analyses sur sédiments au Laboratoire Départemental de la Drôme (LDA 26).

2.1.3.1 Paramètres de pleine eau

Deux types de paramètres de pleine eau ont été pris en considération:

- les paramètres **mesurés in situ** à chaque campagne:
 - température, oxygène dissous (concentration et taux de saturation), pH, conductivité. Ces paramètres sont mesurés sur l'ensemble de la colonne d'eau à l'aide d'une sonde multi paramètres munie d'un câble.
 - transparence mesurée au disque de Secchi de 20 centimètres de diamètre, à quarts alternativement blanc ou noir.
- les paramètres analysés **en laboratoire** :
 - sur **prélèvement intégré** au niveau de la zone trophogène :
 - **paramètres généraux** (à chaque campagne) :
 - azote Kjeldhal, ammonium, nitrates, nitrites, orthophosphates, phosphore total, carbone organique total, matières en suspension, turbidité, chlorophylle *a* et phéopigments (échantillon filtré sur site à l'aide d'une pompe à vide manuelle), silice dissoute, demande

biologique en oxygène (DBO), demande chimique en oxygène (DCO);

- **paramètres de minéralisation** (1^{ère} campagne) :
 - chlorures, sulfates, hydrogénocarbonates, calcium, magnésium, sodium, potassium, dureté totale, titre alcalimétrique complet (TAC) ;
- **micropolluants** (à chaque campagne) :
 - Substances prioritaires, autres substances et pesticides en référence à l'annexe 5 de la circulaire du 29 janvier 2013 relative à l'application de l'arrêté du 25 janvier 2010 établissant le programme de surveillance de l'état des eaux. Les micropolluants organiques ont été mesurés sur les échantillons d'eau brute et les micropolluants minéraux sur l'eau filtrée du même prélèvement.
 - sur **prélèvement de fond** (à chaque campagne) : **paramètres généraux** et **micropolluants** identiques à la zone trophogène à l'exception des pigments chlorophylliens.

2.1.3.2 Paramètres du sédiment

Sur les sédiments, les quantifications ont été réalisées au cours de la quatrième campagne au niveau du point de plus grande profondeur, et prennent en compte les deux compartiments et les paramètres suivants :

- **l'eau interstitielle** : orthophosphates, phosphore total et ammonium ;
- **la phase solide** : carbone organique, azote global, phosphate total, matières organiques volatiles, granulométrie inférieure à 2 mm (argiles, limons fins et grossiers et sables fins et grossiers), aluminium, fer, manganèse, et micropolluants suivant l'annexe 5 de la circulaire du 29 janvier 2013.

2.2 Compartiments biologiques

2.2.1 Phytoplancton

Le suivi du phytoplancton a été effectué lors de 4 campagnes selon la méthode d'Utermöhl⁵. Un prélèvement intégré est réalisé sur l'ensemble de la zone euphotique à l'aide d'une bouteille à prélèvement (*cf.* §2.1.2.1) au droit du point le plus profond du plan d'eau. Cet

⁵ AFNOR. (2006). Norme guide pour le dénombrement du phytoplancton par microscopie inversée (méthode Uthermöhl). NF EN 15204.

échantillon est également utilisé pour la filtration *in situ* de la chlorophylle a. Les échantillons de phytoplancton sont fixés au lugol, puis stockés au réfrigérateur avant détermination et comptage des objets algaux⁶ au sein du laboratoire du GREBE.

L'inventaire et le dénombrement du phytoplancton ont été réalisés, après passage en chambre de sédimentation, sous microscope inversé. En cas de difficulté d'identification ou de fortes abondances, une vérification des diatomées (algues microscopiques siliceuses) a été réalisée en parallèle, entre lame et lamelle sous microscope droit, selon le mode préparatoire décrit par la norme NF T90-354⁷.

Les résultats sont présentés sous forme d'inventaires taxinomiques précisant le nombre de cellules dénombrées par ml, et l'abondance relative de chaque taxon.

L'indice phytoplanctonique défini par la diagnose rapide a ensuite été calculé sur la base des biovolumes spécifiques à chaque taxon et de leur abondance relative.

2.2.2 Oligochètes (IOBL)

L'IOBL, indice basé sur les communautés d'oligochètes, permet d'évaluer les potentialités des sédiments lacustres à assimiler et à recycler les substances minérales et organiques. Il s'interprète comme le « potentiel métabolique du milieu ». Il prend en compte la richesse taxinomique, les densités d'individus et le pourcentage d'espèces sensibles aux pollutions toxiques ou organiques. Bien qu'en théorie continue, la valeur de l'indice varie en général de 0 à 25. L'indice s'applique aux lacs naturels d'eau douce et aux retenues dont la profondeur atteint 5 mètres. Toutefois, il peut être appliqué aux milieux stagnants peu profonds, son interprétation devant alors être recadrée dans le contexte naturel du plan d'eau étudié^{8,9}.

Les échantillons de sédiments ont été constitués sur la base de trois prélèvements élémentaires à la benne Ekman : au point de plus grande profondeur et au niveau de 2 points intermédiaires situés de part et d'autre du point profond. Un indice IOBL est déterminé pour chacune des profondeurs considérées.

L'échantillonnage peut théoriquement être réalisé à n'importe quelle saison, il est cependant conseillé d'effectuer deux campagnes de prélèvements, une lors d'une phase d'isothermie (printanière ou automnale) et une en période de stratification (estivale ou

⁶ Laplace-Treyture, C., Barbe, J., Dutartre, A., Druart, J.-C., Rimet, F., Anneville, O., et al. (Septembre 2009). Protocole Standardisé d'échantillonnage, de conservation et d'observation du phytoplancton en plan d'eau, Vers. 3.3.1. INRA, Cemagref.

⁷ AFNOR. (2007). Détermination de l'Indice Biologique Diatomées (IBD). NF T90-354 15204.

⁸ Lafont, M. (2007). Interprétation de l'indice lacustre oligochètes IOBL et son interprétation dans un système d'évaluation de l'état écologique. Cemagref/MEDA.

⁹ AFNOR. (2005). Détermination de l'indice oligochètes de bioindication lacustre. NF T 90-391.

hivernale). En raison de la possible désoxygénation des couches profondes en été, la campagne estivale correspond à la période la plus pénalisante pour la faune invertébrée benthique. Toutefois, dans le cadre de ce suivi, une seule campagne a été réalisée au printemps.

3. CONTEXTE GENERAL ET CARACTERISTIQUES DU PLAN D'EAU

La retenue de Villegusien (Vingeanne) est une retenue de barrage créé sur le cours de la Vingeanne. Situé à moins de 15 km au sud de Langres, elle se partage entre les territoires des communes de Longeau-Percey et Villegusien-le-Lac, en Haute-Marne (52), à 304 m d'altitude (*Figure 2*). Elle est également connue comme le lac de la Vingeanne, le lac de Villegusien Vingeanne ou le réservoir de la Vingeanne. La dénomination utilisée dans le présent rapport, retenue de Villegusien (Vingeanne), correspond à l'appellation officielle de l'agence de l'eau.



Figure 2 – Carte de localisation de la retenue de Villegusien (Vingeanne) (Haute-Saône, base carte IGN1:136 500).

D'une profondeur maximale de 9,7 m pour une superficie de 150 ha, la retenue contient jusqu'à 8,3 hm³ d'eau. Sa vocation initiale fut l'alimentation du canal de la Marne à la Saône, rebaptisé dans les années 2000, pour des raisons de promotion touristique, canal entre Champagne en Bourgogne. Ce dernier relie depuis 1907 les bassins de la Seine et du Rhône par les sous-bassins de la Marne et de la Saône, parcourant 224 km. Le bief de partage souterrain de Balesmes franchit le plateau de Langres sur près de 5 km. Son alimentation par les eaux de la Marne, de la Vingeanne et de leurs affluents est complétée par quatre grands réservoirs construits autour de Langres. La retenue de Charmes-lez-Langres alimente le versant Marne, celles de la Liez et de la Mouche, le bief de partage et celle de Villegusien

(Vingeanne), le versant Saône. La digue de cette dernière, érigée en 1905, est la plus récente et la plus longue des quatre ouvrages, avec un linéaire de 1 254 m. Depuis les années 1970, la retenue fait l'objet de la procédure de révision spéciale des barrages anciens¹⁰.

La retenue de Villegusien (Vingeanne) fut construite sur le cours de la Vingeanne. Celle-ci est donc à la fois son principal tributaire, et son seul exutoire. Le temps de séjour de l'eau y est d'environ 90 jours, soit 3 mois. En aval du plan d'eau, le canal est en dérivation de la rivière. Huit prises d'eau se répartissent tout du long et assurent l'alimentation du canal. Le Vallinot est un autre petit tributaire qui arrive dans la retenue par le nord.

En amont de la retenue, la Vingeanne coule sur des terrains à dominantes marneuses et argileuses datant du Lias (Jurassique inférieur). Le réservoir a d'ailleurs été construit sur un fond argileux, propre à retenir l'eau. Le bassin versant du cours d'eau est dominé par les cultures ($\approx 50\%$), les prairies ($\approx 20\%$) et les forêts ($\approx 25\%$).



Figure 3 – Carte de localisation des différents usages sur la retenue de Villegusien (Vingeanne) (source : Office du Tourisme)

¹⁰ Antoine F. (1991) Confortement du barrage de la Vingeanne. Note du Service Technique Central des Ports Maritimes et des Voies Navigables n°91.A.

La retenue de Villegusien (Vingeanne) concentre différents usages et attraits. Le premier de ces usages est évidemment l'alimentation du canal entre Champagne et Bourgogne par un soutien d'étiage de la Vingeanne, occasionnant annuellement une baisse du niveau d'eau de la retenue dès le mois d'août. Parallèlement, la retenue assure l'écrêtage des crues de la Vingeanne. Une importante activité liée au tourisme et aux loisirs s'est développée autour de la retenue. La présence d'une plage, d'un camping et d'une base de loisir assure une fréquentation estivale du site, au même titre que les sentiers balisés qui le longe. La retenue est également connue des amateurs de pêche. Les zones humides qui se sont développées dans les deux queues de retenue créées par la Vingeanne et le Vallinot sont des milieux propices à l'observation d'une grande variété d'oiseaux limicoles, notamment lorsque le niveau de la retenue diminue au milieu de l'été. La richesse de l'avifaune aquatique et la présence de nombreuses espèces végétales peu courantes à très rares pour la région ont participé à la création de la ZNIEFF de type 1 n° 210000638 - Réservoir de Villegusien. La *Figure 3* localise sur un plan les différentes zones dédiées aux usages précités.

Le climat est considéré comme tempéré chaud, la température moyenne annuelle est de 9,0 °C. L'influence semi-continentale se traduit par une amplitude thermique annuelle parmi les plus élevées de France (17,2 °C), des étés chauds et des hivers froids et secs avec des chutes de neige relativement fréquentes. Les précipitations, assez abondantes, près de 900 mm cumulés par an, se répartissent assez régulièrement tout au long de l'année, y compris lors des mois les plus secs. Elles sont toutefois habituellement plus marquées à l'automne et au printemps. Toutefois, le printemps 2014 a été particulièrement sec seulement 100 mm de pluie cumulés. C'est à cette période que l'augmentation des températures occasionne habituellement une stratification thermique au sein de la masse d'eau, qui se poursuit jusqu'à la fin de l'été. La colonne d'eau présente alors une couche de surface chaude et sursaturée en oxygène qui recouvre une couche plus froide et désoxygénée.

La retenue de Villegusien (Vingeanne), gérée par VNF par délégation de la DDT, Service Navigation de Dijon, est une masse d'eau de type A2, soit une retenue de moyennes montagnes, calcaire, peu profonde selon la typologie nationale. Elle appartient à l'hydro-écorégion de rang 1 «Côtes calcaires Est».

Comme lors du suivi précédent (2011), la profondeur maximale observée n'est que de 6 mètres lors des campagnes 1 et 2 (9,7 m affichée pour la théorique). Probablement en raison d'un printemps sec et d'un soutien d'étiage précoce, il ne reste plus que 3 m au point profond fin juillet, et seulement 2 m au 09 septembre 2014. Cette importante évolution de la masse

d'eau est à prendre en compte dans l'évolution des différents paramètres. Le *Tableau 1* présente les dates et types d'interventions réalisés au cours du suivi 2014.

Tableau 1 – Calendrier des interventions sur la retenue de Villegusien (Vingeanne) en 2014.

	eau	Physico-chimie		Compartiments biologiques	
		sédiments	Phytoplancton	IOBL	
C1	04/03/2014				
C2	21/05/2014				
C3	29/07/2014				
C4	09/09/2014				



Retenue de Villuegusien (Vingeanne) le 09/09/14

4 PHYSICO-CHIMIE DES EAUX ET DES SEDIMENTS

4.1 Physico-chimie des eaux

4.1.1 Profils verticaux

Les profils de mesure physico-chimiques des quatre campagnes réalisées sur la retenue de Villegusien (Vingeanne) sont fournis *Figure 4*. Comme lors du suivi précédent (2011), la cote maximale n'était pas atteinte. La profondeur maximale observée n'est que de 6 mètres lors des campagnes 1 et 2 (9,7 m affichée pour la théorique) et de seulement 3 m et 2 m en C3 et C4.

La retenue ne présente pas de stratification thermique de mars à juillet. En septembre, alors qu'il ne reste que 2 m d'eau au point profond, un différentiel de 4 °C entre la surface et le fond est observé. Le pH, relativement stable (autour de 8,2) et homogène au sein de la masse d'eau lors des 3 premières campagnes, présente lors de la C4 un profil évoluant de 9,5 sur le premier mètre à 7,8 au fond.

Bien oxygénée sur l'ensemble de la colonne d'eau à la fin de l'hiver, la retenue de Villegusien (Vingeanne) présente une légère sursaturation en surface au printemps (120%). Le peuplement phytoplanctonique étant concentré au sein de la zone trophogène, les quatre premiers mètres sont saturés en oxygène alors que le fond de la retenue se désoxygénise (44%). Lors de la campagne suivante, suite à la baisse de la masse d'eau, celle-ci est à nouveau bien oxygénée jusqu'au fond. En septembre, le phytoplancton se concentre à nouveau dans une zone trophogène réduite au premier mètre. Ce dernier présente une sursaturation de 200% en oxygène alors que le fond est à moins de 50%.

La conductivité affiche une évolution saisonnière décroissante. Stable au sein de la colonne d'eau tout au long de l'année, sa valeur diminue au fil des saisons. Avant la vidange partielle de la retenue, elle évolue de 480 µS/cm à 410 µS/cm. Début juillet elle n'est plus que de 250 µS/cm et descend à 200 µS/cm en septembre.

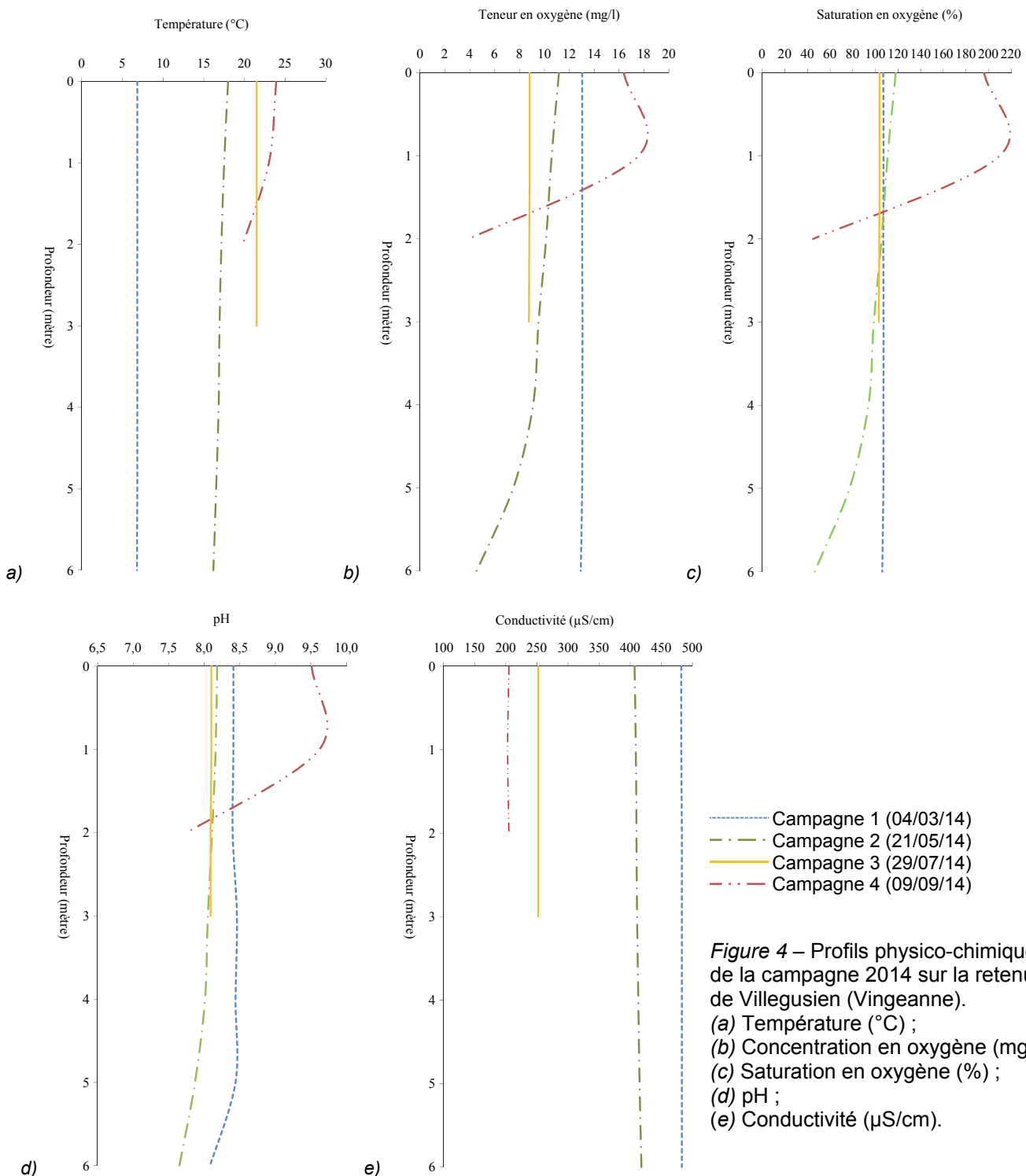


Figure 4 – Profils physico-chimiques de la campagne 2014 sur la retenue de Villegusien (Vingeanne).
(b) Concentration en oxygène (mg/l) ;
(c) Saturat^e en oxygène (%) ;
(d) pH ;
(e) Conductivit^e ($\mu\text{S/cm}$).

4.1.2 Paramètres de minéralisation

Le Tableau 2 fournit les paramètres de minéralisation mesurés sur l'échantillon intégré, uniquement durant la campagne hivernale. D'une dureté de 23,5 °F, les eaux de la retenue de Villegusien (Vingeanne) peuvent être considérées comme plutôt dures. Les concentrations en

calcium et bicarbonates reflètent bien la nature géologique marneuse du bassin versant du réservoir.

Tableau 2 - Résultats pour les paramètres de minéralisation quantifiés sur le prélèvement intégré de la retenue de Villegusien (Vingeanne) le 04/03/2014.

Code sandre	Paramètre	Unité	Limite de quantification	C1	
				Intégré	Fond
1327	Bicarbonates	mg(HCO ₃)/L	6,1	271	-
1337	Chlorures	mg(Cl)/L	0,1	8,8	-
1338	Sulfates	mg(SO ₄)/L	0,2	13,1	-
1345	Dureté	°F	0,5	23,5	-
1347	TAC	°F	0	22,2	-
1367	Potassium	mg(K)/L	0,1	1,3	-
1372	Magnésium	mg(Mg)/L	0,05	3,68	-
1374	Calcium	mg(Ca)/L	0,1	88,1	-
1375	Sodium	mg(Na)/L	0,2	5,4	-

4.1.3 Résultats des analyses physico-chimiques des eaux hors micropolluants

Le *Tableau 3* regroupe les résultats des analyses dites classiques pour la retenue de Villegusien (Vingeanne).

Tableau 3 – Résultats des analyses physico-chimiques (hors micropolluants) pour la retenue de Villegusien (Vingeanne) réalisées au cours du suivi 2014.

Code sandre	Paramètre	Unité	Limite de quantification	C1		C2		C3		C4	
				Intégré	Fond	Intégré	Fond	Intégré	Fond	Intégré	Fond
1436	Phéopigments	µg/L	1	6	-	2	-	17	-	14	-
1439	Chlorophylle a	µg/L	1	3	-	3	-	5	-	3	-
1332	Transparence	m	1	1,3	-	1,25	-	0,45	-	0,25	-
1295	Turbidité (Formazine Néphéломétrique)	NFU	0,1	2,2	1,7	2,4	4,6	25	28	38	39
1305	MeS	mg/L	1	5,6	5,6	7	6	22	29	31	29
1313	DBO	mg(O ₂)/L	0,5	1,9	1,3	2	2,3	5	6	7	12
1314	DCO	mg(O ₂)/L	20	<LQ	<LQ	<LQ	<LQ	25	25	49	54
1841	Carbone organique*	mg(C)/L	0,2	1,9	1,9	2,5	2,5	3,4	3	4,9	5,1
1342	Silicates*	mg(SiO ₂)/L	0,05	3,4	3,3	3,2	3,5	6	6	8,1	8,4
1319	Azote Kjeldahl	mg(N)/L	0,5	<LQ	<LQ	<LQ	0,5	1,4	1,5	2	2,1
1335	Ammonium*	mg(NH ₄)/L	0,01	0,04	0,03	0,06	0,05	0,08	0,15	<LQ	0,01
1339	Nitrites*	mg(NO ₂)/L	0,01	0,04	0,04	0,06	0,06	<LQ	<LQ	<LQ	<LQ
1340	Nitrates*	mg(NO ₃)/L	0,5	15,8	15,8	5,8	5,5	<LQ	<LQ	<LQ	<LQ
1350	Phosphore total	mg(P)/L	0,005	0,016	0,012	0,024	0,023	0,1	0,12	0,14	0,15
1433	Phosphates*	mg(PO ₄)/L	0,01	<LQ	0,01	0,01	0,01	0,07	0,02	0,15	0,19

* Paramètres analysés sur eau filtrée

La *Figure 5* illustre les évolutions de la transparence et des concentrations en pigments chlorophylliens et en matières en suspension.

Les fortes hausses simultanées des concentrations en matières en suspension et en phéopigments entraînent une forte baisse de la transparence qui évolue de 1,25 m lors des campagnes 1 et 2 à moins de 0,5 m dès le mois de juillet. Les augmentations estivales des valeurs de Demande Biologique en Oxygène et de teneur en carbone organique tendent

également à montrer un accroissement de la matière organique au sein de la colonne d'eau. Ces hausses pourraient toutefois être simplement la concentration d'éléments déjà présents dans un volume d'eau fortement diminué.

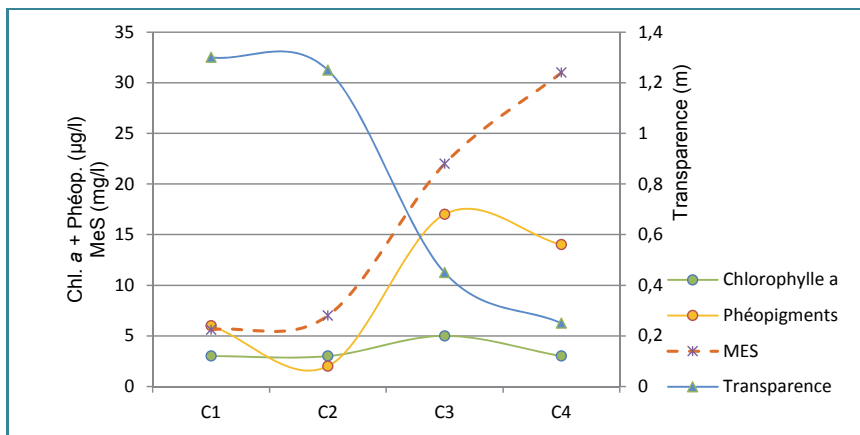


Figure 5 – Evolution des concentrations en chlorophylle a, phéopigments, matières en suspension (MeS) et transparence au cours des campagnes 2014 sur la retenue de Villegusien (Vingeanne)
($<\text{LQ } 1 \mu\text{g/l} = 0,5 \mu\text{g/l}$ - $<\text{LQ } 1\text{ mg/l} = 0,5 \text{ mg/l}$).

A la fin de l'hiver, les eaux de la retenue de Villegusien (Vingeanne) affichent des valeurs très élevées en nitrates. Ces derniers sont rapidement consommés dès le printemps. L'azote de Kjeldahl ($\text{N}_{\text{organique}} + \text{NH}_4^+$) augmente d'un facteur 3 à 4 entre mai et juillet puis reste stable. Au vu de l'évolution de la teneur en ions ammonium en parallèle, cette hausse refléterait surtout une augmentation de la teneur en azote organique lors de la poussée estivale du peuplement phytoplanctonique.

Phosphore total et phosphates sont mesurés en concentrations, respectivement peu élevées à faibles en mars. Elles augmentent entre les 2 premières campagnes puis fortement en été, et atteignent des teneurs élevées en septembre dans les prélèvements intégré et de fond. Cela peut traduire un relargage par les sédiments ou l'impact des activités de loisirs développés autour du plan d'eau. Les données disponibles en nutriments sur la Vingeanne en amont du plan d'eau (fiche état des eaux du SIE, Vingeanne à Baissey 2 – 06005695) ne montrent pas de problème sur les matières phosphorées mais un déclassement de la station en 2010 et 2011 par l'ammonium. Ces augmentations sont à relativiser avec l'abaissement du niveau d'eau dès le mois de juillet.

4.1.4 Micropolluants minéraux

Le Tableau 4 présente les métaux ayant été quantifiés au moins une fois au cours des quatre campagnes du suivi. La liste de l'ensemble des micropolluants recherchés est présentée en annexe 1.

Tableau 4 – Résultats d'analyses de métaux sur eau filtrée de la retenue de Villegusien (Vingeanne) lors du suivi 2014.

Paramètre	Code sandre	Unité	Limite de quantification	C1		C2		C3		C4	
				Intégré	Fond	Intégré	Fond	Intégré	Fond	Intégré	Fond
Aluminium	1370	µg(Al)/L	2	2,8	2,3	10	10	< LQ	2,8	4,3	4
Arsenic	1369	µg(As)/L	0,5	< LQ	< LQ	0,6	0,6	2,8	2,8	4,3	5
Baryum	1396	µg(Ba)/L	0,5	8,3	8,1	8,3	8,4	2,6	2,6	4,2	4,3
Bore	1362	µg(B)/L	10	< LQ	< LQ	13	13	12	13	20	22
Cobalt	1379	µg(Co)/L	0,05	< LQ	< LQ	0,07	0,08	0,09	0,09	0,15	0,15
Cuivre	1392	µg(Cu)/L	0,1	0,51	0,32	0,4	0,41	0,26	0,21	0,34	0,39
Etain	1380	µg(Sn)/L	0,5	< LQ	< LQ	3,1	< LQ	< LQ	< LQ	< LQ	< LQ
Fer	1393	µg(Fe)/L	1	3,9	4,4	12,6	13,5	21	20,5	34,3	33,5
Manganèse	1394	µg(Mn)/L	0,5	< LQ	< LQ	< LQ	0,6	0,7	0,5	0,8	0,8
Sélénium	1385	µg(Se)/L	0,1	< LQ	< LQ	< LQ	< LQ	< LQ	< LQ	< LQ	0,1
Titane	1373	µg(Ti)/L	0,5	< LQ	< LQ	0,6	0,6	0,5	0,5	< LQ	< LQ
Uranium	1361	µg(U)/L	0,05	0,29	0,29	0,27	0,27	0,2	0,2	0,18	0,17
Vanadium	1384	µg(V)/L	0,1	0,34	0,34	0,46	0,5	0,74	0,73	2,9	2,79
Zinc	1383	µg(Zn)/L	1	< LQ	< LQ	< LQ	1,02	< LQ	< LQ	< LQ	< LQ

Quatorze micropolluants minéraux ont été quantifiés un moins une fois lors du suivi 2014, sept l'ont été à chaque campagne : uranium, aluminium, vanadium, cuivre, fer et baryum. Fer, vanadium, arsenic et cobalt présentent des concentrations croissantes d'une campagne à l'autre.

4.1.5 Micropolluants organiques

Le *Tableau 5* présente les micropolluants organiques quantifiés lors d'au moins une campagne dans la retenue de Villegusien (Vingeanne). La liste de l'ensemble des micropolluants recherchés est présentée en annexe 1.

Onze pesticides, huit HAP et le Bisphénol-A ont été quantifiés au moins une fois lors du suivi 2014. Quatre HAP ont été quantifiés à chaque campagne, le benzo (b) fluoranthène, le benzo (k) fluoranthène, le benzo (ghi) pérylène et l'indéno (123c) pyrène. Les concentrations de ces deux derniers, sont relativement élevées à chacune des campagnes et dépassent la limite de norme de qualité environnementale moyenne annuelle définie pour la somme de ces deux paramètres (0,002 µg/L)¹¹.

De nombreux pesticides ont été quantifiés durant ce suivi sur la retenue de Villegusien. La dernière campagne affiche le plus grand nombre de quantifications de pesticides avec 6 paramètres mesurés sur les échantillons intégré et de fond.

¹¹ Ministère de l'énergie, de l'énergie, du développement durable et de la mer, en charge des technologies vertes et des négociations sur le climat. Arrêté du 25 janvier 2010 relatif aux méthodes et critères d'évaluation de l'état écologique, de l'état chimique et du potentiel écologique des eaux de surface pris en application des articles R. 212-10, R. 212-11 et R. 212-18 du code de l'environnement. Journal Officiel de la République Française.

Tableau 5 – Résultats d'analyses des micropolluants organiques sur eau brute.

Paramètre	Code sandre	Famille	Unité	Limite de quantification	C1		C2		C3		C4	
					Intégré	Fond	Intégré	Fond	Intégré	Fond	Intégré	Fond
2,4 MCPA	1212	Aryloxyacides	µg/L	0,02	< LQ	< LQ	0,027	0,023	< LQ	< LQ	< LQ	< LQ
AMPA	1907	Divers	µg/L	0,02	< LQ	< LQ	0,033	0,027	0,084	0,055	0,161	0,193
Bentazone	1113	Benzothiazinones	µg/L	0,02	0,055	0,056	< LQ	< LQ	< LQ	< LQ	0,026	0,024
Benzo (b) Fluoranthène	1116	HAP	µg/L	0,0005	0,0014	0,0015	0,0016	0,0034	0,0061	0,0056	0,0011	0,0014
Benzo (ghi) Pérylène	1118	HAP	µg/L	0,0005	0,0013	0,0012	0,0016	0,0027	0,0054	0,005	0,001	0,0012
Benzo (k) Fluoranthène	1117	HAP	µg/L	0,0005	0,0006	0,0007	0,001	0,0016	0,0029	0,0027	< LQ	0,0007
Bisphénol-A	2766	Bisphénols	µg/L	0,05	0,055	< LQ	< LQ	< LQ	< LQ	< LQ	< LQ	< LQ
Carbaryl	1463	Carbamates	µg/L	0,02	< LQ	< LQ	< LQ	< LQ	0,022	< LQ	< LQ	< LQ
Dimétacllore	2546	Chlorocétamides	µg/L	0,005	< LQ	< LQ	< LQ	< LQ	< LQ	< LQ	0,007	0,006
Diméthénamide	1678	Chlorocétamides	µg/L	0,005	< LQ	< LQ	< LQ	< LQ	< LQ	< LQ	0,026	0,023
Fluoranthène	1191	HAP	µg/L	0,005	< LQ	< LQ	< LQ	< LQ	0,011	0,011	< LQ	< LQ
Fluorures	7073	-	mg(F)/L	0,05	0,06	0,06	0,06	0,06	0,08	0,08	0,07	0,09
Formaldéhyde	1702	Aldéhydes	µg/L	1	< LQ	3	< LQ	< LQ	< LQ	< LQ	< LQ	< LQ
Indéno (123c) Pyrène	1204	HAP	µg/L	0,0005	0,0014	0,0013	0,0014	0,0026	0,0048	0,0049	0,001	0,0014
Isoproturon	1208	Urées	µg/L	0,02	0,023	0,02	< LQ	< LQ	< LQ	< LQ	< LQ	< LQ
Métazaclore	1670	Chloroacétamides	µg/L	0,005	< LQ	< LQ	< LQ	< LQ	< LQ	< LQ	0,066	0,062
Méthyl-2-Naphtalène	1618	HAP	µg/L	0,005	0,005	< LQ	< LQ	< LQ	< LQ	< LQ	< LQ	< LQ
Naphtalène	1517	HAP	µg/L	0,005	0,01	0,01	< LQ	< LQ	< LQ	0,005	< LQ	0,006
Propyzamide	1414	Benzamides	µg/L	0,005	0,012	0,011	< LQ	0,005	< LQ	< LQ	< LQ	< LQ
Pyrène	1537	HAP	µg/L	0,005	< LQ	< LQ	< LQ	< LQ	0,008	0,008	< LQ	< LQ
Quinmerac	2087	Acides quinoléïne carboxyliques	µg/L	0,02	< LQ	< LQ	< LQ	< LQ	< LQ	< LQ	0,032	0,031

Il s'agit d'une présentation des résultats bruts, certaines valeurs pouvant être qualifiées d'incertaines suite à la validation finale des résultats (cas par exemple des valeurs mesurées en BTEX, DEHP, Formaldéhyde, dont une contamination via la chaîne de prélèvement et/ou d'analyse de laboratoire est parfois privilégiée).

4.2 Physico-chimie des sédiments

4.2.1 Physico-chimie des sédiments hors micropolluants

Le Tableau 6 fournit les éléments de granulométrie et de physico-chimie générale des sédiments. Les sédiments de la retenue de Villegusien (Vingeanne) sont composés à 70 % de sables fins (< 200 µm) et à 25 % de limons/argiles (< 20 µm). Le dosage des macropolluants, les révèle moyennement chargés en phosphore total et faibles en azote organique. La matière organique en représente une part moyenne (7%).

Les analyses de l'eau interstitielle traduisent un potentiel de relargage des sédiments moyen pour l'ammonium, le phosphore organique et très faible pour les phosphates (phosphore sous sa forme minérale).

Tableau 6 – Eléments de physico-chimie et granulométrie des sédiments de la retenue de Villegusien (Vingeanne) (09/09/13).

Fraction	Code sandre	Paramètre	Unité	Limite de quantification	Valeur
Particule inf. 2 mm	1307	Matière sèche à 105°C %		-	35,8
Matière sèche de particules inf. 2 mm	1841	Carbone organique	mg(C)/kg MS	1000	31500
	5539	Matière Sèche Minérale (M.S.M)	% MS	-	92,7
	5540	Matière Sèche Organique (M.S.O)	% MS	-	7
	6578	Perte au feu à 550°C	% MS	-	7,3
Eau intersticielle filtrée	1335	Ammonium	mg(NH4)/L	0,5	6,05
	1433	Phosphates	mg(PO4)/L	0,015	0,062
Eau intersticielle brute	1350	Phosphore total	mg(P)/L	0,1	0,43
Matière sèche de particules inf. 2 mm	1350	Phosphore total	mg(P)/kg MS	1	1306
	1319	Azote Kjeldahl	mg(N)/kg MS	1000	3664
	1335	Ammonium	mg(N)/kg MS	200	< LQ
Matière sèche de particules inf. 2 mm	6228	Teneur en fraction inférieure à 20 µm	%	-	25,6
	3054	Teneur en fraction de 20 à 63 µm	%	-	44,8
	7042	Teneur en fraction de 63 à 150 µm	%	-	24,1
	7043	Teneur en fraction de 150 à 200 µm	%	-	1,6
	7044	Teneur en fraction supérieure à 200 µm	%	-	4,1

4.2.2 Micropolluants minéraux

Les métaux quantifiés dans les sédiments sont listés dans le *Tableau 7*. La liste de l'ensemble des micropolluants recherchés est présentée en annexe 2.

Vingt-deux micropolluants minéraux ont été quantifiés dans les sédiments de la retenue de Villegusien (Vingeanne). Les différents « métaux lourds » analysés affichent des concentrations faibles à moyennes.

4.2.3 Micropolluants organiques

La liste de l'ensemble des micropolluants recherchés est présentée en annexe 2.

Quatorze micropolluants organiques ont été quantifiés dans les sédiments de la retenue de Villegusien (Vingeanne) et sont listés dans le *Tableau 8*.

Treize substances sont des hydrocarbures aromatiques polycycliques (HAP). Les concentrations observées par paramètres restent modérées mais la concentration totale en HAP quantifiés, avec une valeur atteignant près de 3000 µg/kg MS, est relativement élevée.

Tableau 7 – Micropolluants minéraux quantifiés dans les sédiments de la retenue de Villegusien (Vingeanne) (09/09/14).

Paramètre	Code sandre	Unité	Limite de quantification	Valeur
Aluminium	1370	mg(Al)/kg MS	10	24320
Antimoine	1376	mg(Sb)/kg MS	0,2	0,4
Arsenic	1369	mg(As)/kg MS	0,2	12,1
Baryum	1396	mg(Ba)/kg MS	0,4	58,9
Beryllium	1377	mg(Be)/kg MS	0,2	1,1
Bore	1362	mg(B)/kg MS	1	33,7
Chrome	1389	mg(Cr)/kg MS	0,2	59,1
Cobalt	1379	mg(Co)/kg MS	0,2	10,3
Cuivre	1392	mg(Cu)/kg MS	0,2	13,5
Etain	1380	mg(Sn)/kg MS	0,2	1,6
Fer	1393	mg(Fe)/kg MS	10	24230
Manganèse	1394	mg(Mn)/kg MS	0,4	480,4
Mercure	1387	mg(Hg)/kg MS	0,02	0,03
Molybdène	1395	mg(Mo)/kg MS	0,2	0,5
Nickel	1386	mg(Ni)/kg MS	0,2	26,5
Plomb	1382	mg(Pb)/kg MS	0,2	16,6
Sélénium	1385	mg(Se)/kg MS	0,2	0,6
Thallium	2555	mg(Tl)/kg MS	0,2	0,3
Titane	1373	mg(Ti)/kg MS	1	2233
Uranium	1361	mg(U)/kg MS	0,2	1,1
Vanadium	1384	mg(V)/kg MS	0,2	75,9
Zinc	1383	mg(Zn)/kg MS	0,4	87,4

Tableau 8 – Micropolluants organiques quantifiés dans les sédiments de la retenue de Villegusien (Vingeanne) (09/09/14).

Paramètre	Code sandre	Famille	Unité	Limite de quantification	Valeur
Acénaphthylène	1622	HAP	µg/kg MS	20	48
Anthracène	1458	HAP	µg/kg MS	10	15
Benzo (a) Anthracène	1082	HAP	µg/kg MS	10	159
Benzo (a) Pyrène	1115	HAP	µg/kg MS	10	306
Benzo (b) Fluoranthène	1116	HAP	µg/kg MS	10	339
Benzo (ghi) Pérylène	1118	HAP	µg/kg MS	10	325
Benzo (k) Fluoranthène	1117	HAP	µg/kg MS	10	172
Chrysène	1476	HAP	µg/kg MS	10	213
DEHP	6616	Organo halogénés volatils	µg/kg MS	100	318
Dibenzo (ah) Anthracène	1621	HAP	µg/kg MS	10	33
Fluoranthène	1191	HAP	µg/kg MS	40	562
Indéno (123c) Pyrène	1204	HAP	µg/kg MS	10	251
Phénanthrène	1524	HAP	µg/kg MS	50	129
Pyrène	1537	HAP	µg/kg MS	40	382

5 COMPARTIMENTS BIOLOGIQUES

5.1 Phytoplancton

Le phytoplancton a été échantillonné au niveau de la zone trophogène au cours des quatre campagnes de prélèvement du suivi 2014. La *Figure 6* présente la structure et l'évolution des peuplements phytoplanctoniques prélevés lors des quatre campagnes en termes de concentration et de biovolume algaux ainsi que celle de l'IPL calculé sur les biovolumes. Le *Tableau 9* présente la liste taxinomique quantifiée du phytoplancton au cours des quatre campagnes.

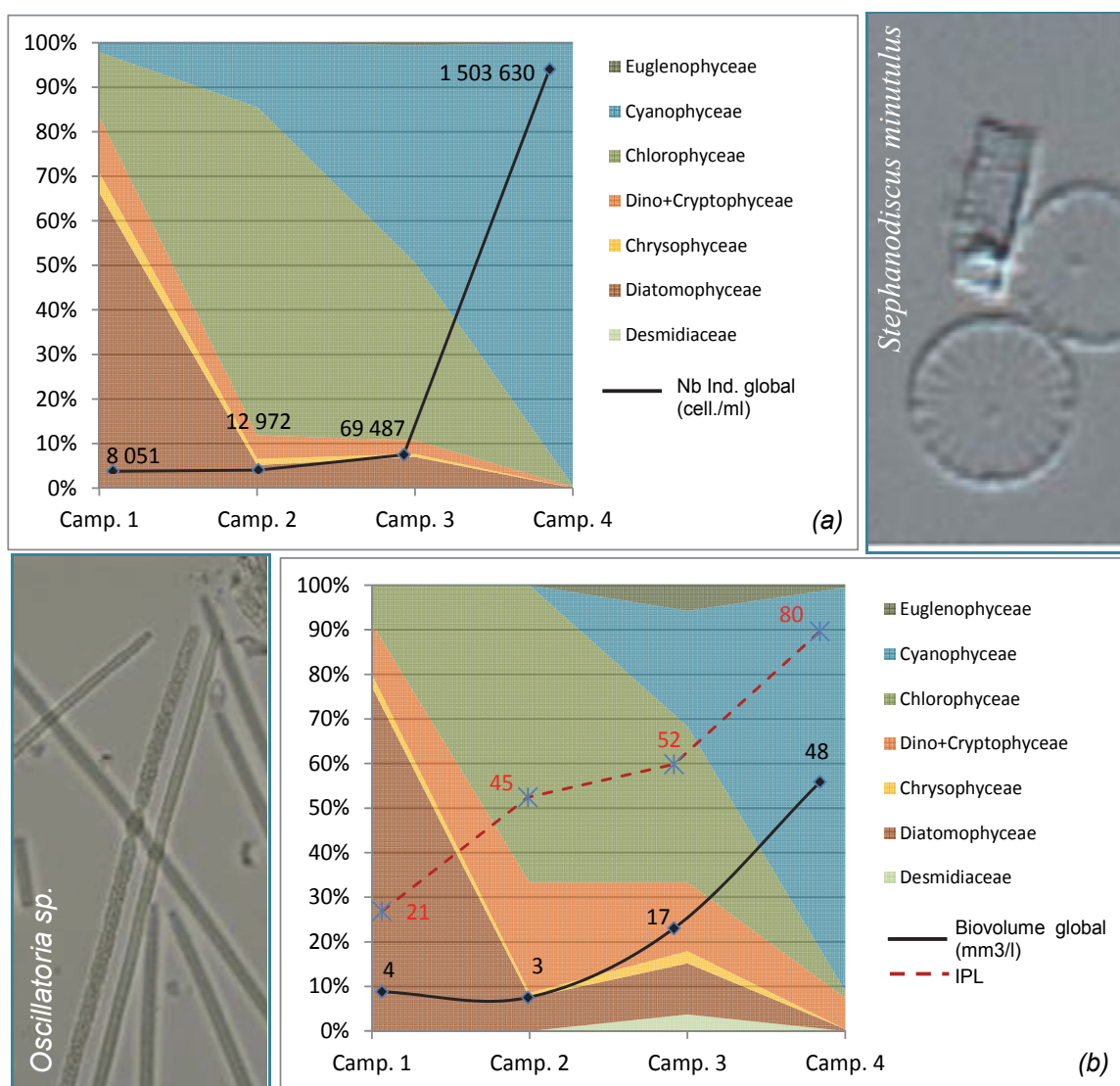


Figure 6 - Evolution de la structure des populations phytoplanctoniques de la retenue de Villegusien (Vingeanne) au cours des 4 saisons de prélèvement 2014 (regroupés en principaux groupes pigmentaires). (a) Evolution en termes de concentration (exprimée en nombre de cellules par ml d'eau) ; (b) Evolution en termes de biovolume algal (exprimé en mm³/l) et indice planctonique lacustre correspondant calculé sur la base des biovolumes.

La succession des grandes classes d'algues au fil des saisons est assez classique. Le peuplement est dominé par les diatomées, groupe considéré comme pionnier, à la fin de l'hiver. L'espèce majoritaire ici est *Stephanodiscus minutulus*, commune dans les eaux riches en nutriments, comme le sont celles de la retenue de Villegusien (Vingeanne) (§4.1.3).

Avec le réchauffement printanier, le groupe des chlorophycées domine alors le peuplement. Dans cette classe, *Coelastrum microporum*, *Pediastrum boryanum* et *Crucigenia tetrapedia*, espèces mésotrophes à eutrophes, comptent parmi les espèces les plus présentes. Toutefois, l'espèce la plus représentée lors de cette campagne est *Merismopedia tenuissima*, une cyanophyte commune dans les eaux mésotrophe à eutrophe¹². Consécutif à la forte consommation des nutriments azotés et à l'augmentation des teneurs en phosphore puis en phosphates dans une masse d'eau dont le volume a fortement baissé, le rapport N/P chute fortement. Il devient alors favorable au développement de certaines cyanophycées capable de fixer l'azote moléculaire (N₂). Celles-ci entrent alors en compétition avec les chlorophycées dès le mois de juillet et dominent le peuplement de septembre à plus de 99%. Très nombreuses et de petites tailles, elles multiplient concentration totale et biovolume global par des facteurs de, respectivement, 21 et 3. Près de 97 % des cyanophycées observées en C4, soit près d'1 500 000 ind./ml représentant 36,3 mm³/ml, sont des individus indéterminés appartenant à l'ordre des Oscillariales regroupant des genres filamentueux unisériés, sans ramification et sans hétérocyste ni akinètes. Parmi les genres appartenant à cet ordre, certaines espèces sont susceptibles, dans certaines conditions, de libérer des neurotoxines, hépatotoxines et/ou dermatotoxines¹³. De la même manière, *Aphanizomenon gracile*, très présente lors de la C3, peut libérer des saxitoxines, qui peuvent être à l'origine du syndrome PSP, paralytic shellfish poisoning ou intoxication paralysante par les fruits de mer¹⁴.

L'**IPL** moyen, calculé sur les trois campagnes de production (C2, C3, C4), est de 59/100, caractérisant le milieu d'**eutrophe à tendance hyper-eutrophe**. La note de la campagne 4 (80) est la plus pénalisante du fait d'un peuplement dominé à plus de 99% par des cyanophycées profitant de teneurs élevées en phosphore et phosphates au sein de la colonne d'eau.

¹² Komárek J. (2003). Coccoid and colonial cyanobacteria. In Wehr J. D. & Sheath G. (éd.) Freshwater Algae of North America. Ecology and Classification. Academic Press. 59-116.

¹³ Leitão M. & A. Couté (2005). Guide pratique des Cyanobactéries planctoniques du Grand Ouest de la France. Agence de l'eau Seine Normandie. 65 p.

¹⁴ Briand P. (2009). Note de l'Agence française de sécurité sanitaire des aliments relative à la situation de contamination des plans d'eau de la base de loisirs de Champs sur Marne par des saxitoxines. Saisine n°2009-S A-0180. AFFSA. 4p.

Tableau 9 – Liste taxinomique du phytoplancton échantillonné au cours des 4 campagnes 2014 sur la retenue de Villegusien (Vingeanne). Les individus sont présentés en concentrations (cell./ml).

Groupes	Taxons	Code SANDRE	Campagnes			
			C1	C2	C3	C4
BACILLARIOPHYCEAE	Amphora	9470			43	
	Diatomées pennées indét.	20161		97		
	Navicula	9430	11			
	Nitzschia acicularis	8809	78		43	
CHLOROPHYCEAE	Acutodesmus acuminatus	33639			511	
	Ankyra judayi	5596		252		
	Chlamydomonas	6016		10	298	
	Chlamydomonas <10µm	6016		29	383	124
	Chlorophycées flagellées indé. diam 5 - 10 µm	20154			85	124
	chlorophycées unicellulaires 5 - 10µm	20155		300	383	
	Coelastrum astroideum	5608			1277	
	Coelastrum microporum	5610		1258		
	Coenochloris fottii	5618		580		
	Crucigenia tetrapedia	5633	89	1229	11326	
	Desmodesmus aculeolatus	37353			170	
	Desmodesmus bicaudatus	37351		39	341	
	Desmodesmus communis	31933		290	852	498
	Desmodesmus subspicatus	31950		97	1022	249
	Dictyosphaerium (2µm)	5645	22	1054		
	Elakatothrix gelatinosa	5664		106		249
	Golenkinia	5675			85	
	Kirchneriella irregularis	5699			170	
	Monoraphidium arcuatum	5729	100	77	43	
	Monoraphidium circinale	5730	33	77	170	373
	Monoraphidium contortum	5731	67	48	1277	
	Monoraphidium griffithii	5734			43	
	Monoraphidium komarkovae	5735	67		43	
	Monoraphidium minutum	5736		300	596	124
	Monoraphidium nanum	9234			255	
	Monoraphidium skujae	5738	33			
	Monoraphidium tortile	5741	78			
	Oocystis	5752		213		498
	Oocystis apiculata	9239		19		
	Oocystis lacustris	5757		213		
	Oocystis parva	5758		1190		995
	Pediastrum biradiatum	5768			511	
	Pediastrum boryanum	5769		542		
	Pediastrum duplex	5772		77		
	Pediastrum simplex	5777		97	681	
	Pediastrum tetras	5780	67		341	
	Phacotus lenticularis	6048		116		
	Scenedesmus acuminatus	5804	44			
	Scenedesmus acutus	9270		39		
	Scenedesmus arcuatus	5807		68		
	Scenedesmus ellipticus	5826		271	511	
	Spermatozopsis exsultans	9335			43	
	Tetraedron caudatum	5885	11	58	426	
	Tetraedron minimum	5888		87	468	249
	Tetraedron minimum var. tetralobulatum	20332	133			
	Tetraedron triangulare	5893		10	1320	249
	Tetraselmis cf.cordiformis	5981	100			
	Tetrastrum staurogeniaeforme	5904	44		341	498
	Tetrastrum triangulare	9300	89	387		
	Treubaria triappendiculata	5913			85	
-		-	-	-	-	-
-		-	-	-	-	-
-		-	-	-	-	-

-	-	-	-	-	-
-	-	-	-	-	-
-	-	-	-	-	-
CHRYSOPHYCEAE	Chrysococcus	9570	111		
	Chrysococcus rufescens	9571	22		
	Dinobryon divergens	6130		135	
	Dinobryon sociale	6136			170
	Erkenia subaequiciliata	6149	189	48	85
	Kephyrion littorale	6151	11		
	Kephyrion rubri-claustrum	6152			43
CONJUGATOPHYCEAE	Mougeotia	1146		43	4355
COSCINODISCOPHYCEAE	Cyclostephanos dubius	8599	22		
	Diatomées centriques 5 µm	31228		126	468
	Diatomées centriques indét. <10 µm	31228		310	2342
	Diatomées centriques indét. >10 µm	20160		126	1533
	Discostella pseudostelligera	8656	56		
	Puncticulata radiosa	8731	22		
	Rhizosolenia eriensis	8732			43
	Rhizosolenia longiseta	8734			170
	Stephanodiscus hantzschii	8746	11		
	Stephanodiscus minutulus	8753	3054		
CRYPTOPHYCEAE	Cryptomonas	6269	22	310	1192
	Cryptomonas marssonii	6273	22	106	249
	Cryptomonas ovata	6274		122	
	Goniomonas truncata	35416	255	10	894
	Plagioselmis nannoplanctica	9634	322	261	995
	Rhodomonas lens	24459	267		
CYANOPHYCEAE	Anabaena flos-aquae	6282			9750
	Anabaena viguieri	31797			11820
	Aphanizomenon flos-aquae	6291			10451
	Aphanizomenon gracile	6292			13753
	Aphanizomenon issatschenkoi	9668			2938
	Aphanocapsa delicatissima	6308		97	1277
	Aphanocapsa holsatica	6312			1873
	Merismopedia tenuissima	6330		1780	
	Oscillatoriales indét.	20165			1453612
	Oscillatoriales indeterminées fines	20165			255
	Pseudanabaena catenata	6456	178		995
	Romeria elegans	24460			4045
DINOPHYCEAE	Peridinium	6577			43
EUGLENOPHYCEAE	Euglena	6479			43
	Euglena acus	6480			85
	Euglena proxima	9741			43
	Trachelomonas	6527			128
	Trachelomonas hispida	6531			43
	Trachelomonas volvocina	6544			85
	Trachelomonas volvocinopsis	6545			124
FRAGILARIOPHYCEAE	Asterionella formosa	4860	267	10	
	Fragilaria gracilis	6679	1721		
	Ulnaria ulna var. acus	19120	89		
SYNUROPHYCEAE	Mallomonas	6209	33		170
TREBOUXIOPHYCEAE	Actinastrum hantzschii	5591			681
	Chlorella	5929	33		
	Dictyosphaerium pulchellum	5648		232	511
	Didymocystis	5651	44		
	Didymocystis fina	9193	44	155	937
	Didymocystis planctonica	25668	44	39	170
	Lagerheimia ciliata	5713			43
	Lagerheimia genevensis	5714	22		1320
XANTHOPHYCEAE	Goniochloris mutica	6237			43
ZYGONEMATOPHYCEAE	Closterium gracile	5542			170
	Cosmarium	1127			43
Total général		8051	12972	69572	1507984

5.2 Oligochètes

Les oligochètes des sédiments de la retenue de Villegusien (Vingeanne) ont été prélevés le 21 mai 2014. Le plan d'eau n'était alors pas stratifié. La localisation des points de prélèvement est illustrée *Figure 7*. Les listes faunistiques obtenues sont présentées dans le *Tableau 10* (le rapport d'analyse est fourni en annexes).

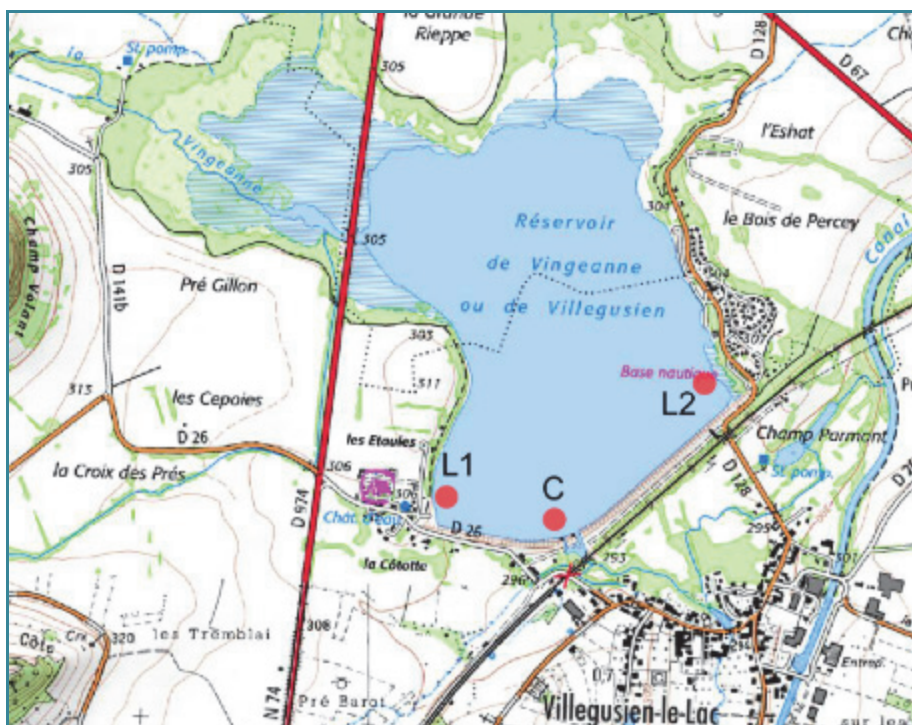


Figure 7 – Carte de localisation des points de prélèvement IOBL. Retenue de Villegusien (Vingeanne), 21/05/2014. C : point profond, L1 et L2 : points littoraux. Echelle : 1/17 000^{ème}.

Les trois points de prélèvements présentent des peuplements dominés à plus de 80 % par les tubificinés sans soie capillaire (formes très polluo-résistantes) immatures. Se distinguant du point profond, L1 et L2 affichent 10 % de tubificinés avec soies capillaires. Ce dernier point, prélevé vers la base nautique, contient également 3 espèces de naïdinés, dont *Dero nivea* et *Stylaria lacustris* indiquant la présence d'herbiers de macrophytes bien développés.

La note **IOBL** global est de 10,3 décrivant un fort **potentiel métabolique des sédiments**. Les sédiments du point profond ont un potentiel moins fort que les littoraux. Avec **moins de 5 % d'espèces sensibles** (uniquement dans le peuplement du point L2), les **sédiments peuvent être décrits comme de mauvaise qualité¹⁵**.

¹⁵ Lafont M. 2007. Interprétation de l'indice lacustre oligochètes IOBL et son intégration dans un système d'évaluation de l'état écologique. Cemagref/MEDAD. 18 p.

Tableau 10 – Listes faunistiques et valeurs de l'IOBL pour la retenue de Villegusien (Vingeanne), le 21/05/2014. Les valeurs indiquent une densité pour 0,1 m².

		Réservoir de la Vingeanne (Villegusien)			
		21/05/2014			
		P	L1	L2	
		profondeur (m)	6	3	2,9
Taxons		Code	Code Sandre		
Naididae					
Tubificinae avec soies capillaires sous-total (%)	<i>Immatures</i>	TUBC	5231	0 0	12 9 11 10
Tubificinae sans soie capillaire sous-total (%)	<i>Immatures</i> <i>Limnodrilus claparedeanus</i> <i>Limnodrilus hoffmeisteri</i> <i>Limnodrilus profundicola</i>	TUSS LICL LIHO LIPR	5230 2992 2991 2990	104 18 0 0	101 14 7 1 91 81
Naidinae sous-total (%)	<i>Dero nivea</i> <i>Specaria josiinae*</i> <i>Stylaria lacustris*</i>	DENI SCJO SYLA	20372 19314 960	1 0 0	0 0 0 0 0 9
Lumbricidae sous-total (%)	<i>Eiseniella tetraedra</i>	EITE	939	1 1	0 0 0 0 0 0
Densité totale (D) (pour 0,1 m²)				124	135
				113	
Calcul IOBL					
Nombre d'espèces (S)				3	4
IOBL = S+3log10(D+1)				9,3	10,4
Pourcentage d'espèces sensibles par point				0	0
Pourcentage d'espèces sensibles rapporté à la densité globale du PE				0	0
					2,7
					0,8
Indice IOBL Total⁽¹⁾				10,3	

* Espèces sensibles à la pollution dans les sédiments lacustres profonds.

⁽¹⁾ : Paramètre non couvert par l'accréditation (non mentionné par la Norme IOBL NF T90-391 (mars 2005)), mais utilisé dans le calcul de l'indice oligochètes IOL de la diagnose rapide des plans d'eau du CEMAGREF version Juillet 2003.

-1 point profond P1 et 1 point en profondeur intermédiaire P2 : IOBL total = 1/2 (IOBL P1 + IOBL P2)

-1 point profond P1 et 2 points en profondeur intermédiaire P2 et P3 : IOBL total = 1/2 IOBL P1 + 1/4 IOBL P2 + 1/4 IOBL P3

ANNEXES

Annexe 1

Liste des micropolluants analysés sur eau

Type	Code SANDRE	Paramètre	Code SANDRE	Paramètre
Micropolluants métalliques	1454	Acétidényle	1454	Acétamiprid
Micropolluants métalliques	5579	Acétochlore	5579	Acétochlore
Micropolluants métalliques	1903	Acibenzolar-S-Méthyl	1903	Acibenzolar-S-Méthyl
Micropolluants métalliques	5581	Acide monochloroacétique	5581	Acide monochloroacétique
Micropolluants métalliques	1465	Acide nitroacétique (NTA)	1465	Acide nitroacétique (NTA)
Micropolluants métalliques	1521	Acide perfluorodecanesulfonique (PF)	1521	Acide perfluorodecanesulfonique (PF)
Micropolluants métalliques	6550	Acide perfluorodecanoïque (PFDA)	6550	Acide perfluorodecanoïque (PFDA)
Micropolluants métalliques	6509	Acide perfluoro-dodecanoïque (PFDo)	6509	Acide perfluoro-dodecanoïque (PFDo)
Micropolluants métalliques	6507	Acide perfluorohexanesulfonique (PF)	6507	Acide perfluorohexanesulfonique (PF)
Micropolluants métalliques	6830	Acide perfluorooctanesulfonique (PFOS)	6830	Acide perfluorooctanesulfonique (PFOS)
Micropolluants métalliques	5977	Acide perfluoro-n-heptanoïque (PFHp)	5977	Acide perfluoro-n-heptanoïque (PFHp)
Micropolluants métalliques	5978	Acide perfluoro-n-hexanoïque (PFHx)	5978	Acide perfluoro-n-hexanoïque (PFHx)
Micropolluants métalliques	6508	Acide perfluoro-n-nonanoïque (PFNA)	6508	Acide perfluoro-n-nonanoïque (PFNA)
Micropolluants métalliques	6510	Acide perfluoro-n-undecanoïque (PFU)	6510	Acide perfluoro-n-undecanoïque (PFU)
Micropolluants métalliques	6560	Acide perfluooctanesulfonique (PFOS)	6560	Acide perfluooctanesulfonique (PFOS)
Micropolluants métalliques	5347	Acide perfluoro-octanoïque (FOA)	5347	Acide perfluoro-octanoïque (FOA)
Micropolluants métalliques	6547	Acide Perfluotetradecanoïque (PFT)	6547	Acide Perfluotetradecanoïque (PFT)
Piomb	1380	Acliflofen	1970	Acliflofen
Fer	1393	Acilonifen	1688	Acilonifen
Manganèse	1394	Acinathrine	1310	Acinathrine
Chrome	1388	Alachlore	1101	Alachlore
Cobalt	1389	Aldicarbe	1102	Aldicarbe
Cuivre	1379	Aldicarbe sulfone	1807	Aldicarbe sulfone
Etain	1392	Aldidine	1806	Aldidine
Nickel	1386	Alléthrine	1103	Alléthrine
Piomb	1382	Allyxycarbe	1697	Allyxycarbe
Sélénium	1385	alpha-Hexabromocyclododecane	7501	alpha-Hexabromocyclododecane
Tellure	2559	Alphaméthrine	1812	Alphaméthrine
Thallium	2555	Amétryne	1104	Amétryne
Titanium	1373	Amidithion	5697	Amidithion
Uranium	1361	Amidosulfuron	2012	Amidosulfuron
Vanadium	1384	Aminocarbe	5523	Aminocarbe
Zinc	1383	Aminochlorophénol-2,4	2537	Aminochlorophénol-2,4
	2934	1-(3-chloro-4-methylphenyl)uree	6651	Alpha-Hexabromocyclododecane
	5399	17alpha-Estradiol	1812	Alphaméthrine
	1264	2,4,5-T	1104	Amétryne
	1141	2,4-D	5697	Amidithion
	2872	2,4-D isopropyl ester	1308	Amidosulfuron
	2873	2,4-D méthyl ester	1907	AMPA
	1142	2,4 DB	6594	Anilofos
	1212	2,4 MCPA	1458	Anthraènène
	1213	2,4 MCPB	2013	Anthraguinone
	2011	2,6 Dichlorobenzamide	1965	Asulame
	6022	2,4+2,5-dichloroanilines	1107	Atrazine
	2815	2-chloro-4-nitrotoluene	1832	Atrazine 2 hydroxy
	2818	2-Chloro-6-nitroaniline	1109	Atrazine déisopropyl
	3159	2-hydroxy-desethyl-Atrazine	1108	Atrazine déséthyl déisopropyl
	2615	2-Naphthol	1830	Atrazine déséthyl déisopropyl
	2613	2-nitrotoluène	1914	Azaconazole
	6427	2-tentbutyl 4-méthylphénol	2015	Azaméthiphos
	7019	3,4,5-trichloroaniline	2937	Azimsulfuron
	5696	3,4,5-Triméthacarb	1110	Azinphos éthyl
	2819	3-Chloro-2-méthylaniline	1111	Azinphos méthyl
	2820	3-Chloro-4-méthylaniline	1951	Azoxystrobine
	2823	4-Chloro-N-méthylaniline	6231	BDE 181
	5474	4-nonylphénols ramifiés	5986	BDE 203
	1958	4-nonylphénols ramifiés	5997	BDE 205
	2610	4-tert-butylphénol	2915	BDE 100
	1959	4-tert-octylphénol		
	2863	5,6,7,8-Tetrahydro-2-naphthol		
	2822	5-Chloroanisole		
	2817	-Chloro-3-néthylaniline		
	1453	Acénaphthène		
	1622	Acénaphthylène		
	1100	Acéphate		

Type	Code SANDRE	Paramètre
Micropolluants organiques	2913 BDE138	Buuron
Micropolluants organiques	2912 BDE153	Butylate
Micropolluants organiques	2911 BDE154	Butylbenzène n
Micropolluants organiques	2921 BDE17	Butylbenzène sec
Micropolluants organiques	2910 BDE183	Butylbenzène tert
Micropolluants organiques	2909 BDE190	Cadusofos
Micropolluants organiques	1815 BDE209	Captafol
Micropolluants organiques	2920 BDE28	Captane
Micropolluants organiques	2919 BDE47	Carbaryl
Micropolluants organiques	2918 BDE66	Carbendazime
Micropolluants organiques	2917 BDE71	Carbetamide
Micropolluants organiques	7437 BDE77	Carbofuran
Micropolluants organiques	2914 BDE85	Carbofuran 3 hydroxy
Micropolluants organiques	2916 BDE99	Carbophénothion
Micropolluants organiques	1687 BenalaxyI	Carbosulfan
Micropolluants organiques	6391 BenalaxyM (cumyluron)	Carboxine
Micropolluants organiques	1329 Bendiocarbe	Carfenazole-éthy
Micropolluants organiques	1112 Benfluraline	Chionatréthionate
Micropolluants organiques	2924 Benfuracarbe	Chlorantraniliprole
Micropolluants organiques	2074 Benoxacor	Chlorbutame
Micropolluants organiques	5512 Bensulfuron-méthyl	Chlordane alpha
Micropolluants organiques	6595 Bensulide	Chlordane beta
Micropolluants organiques	1113 Bentazone	Chlordane gamma
Micropolluants organiques	7460 Benthiavilcarbe-isopropyl	Chlordécone
Micropolluants organiques	1764 Benthiocarbe	Chlorbutane
Micropolluants organiques	1114 Benzène	Chlorefenphos
Micropolluants organiques	2816 Benzene, 1-chloro-2-methyl-1,3-nitro-	Chlorfluazuron
Micropolluants organiques	1607 Benzidine	Chlordanzone
Micropolluants organiques	1082 Benzo (a) Anthracène	Chlormuron-éthyl
Micropolluants organiques	1115 Benzo (a) Pyréne	Chlorméphos
Micropolluants organiques	1116 Benzo (b) Fluoranthène	Chlormequat
Micropolluants organiques	1118 Benzo (g,h,i) Fluoranthène	Chloro-2-p-toluidine
Micropolluants organiques	1117 Benzo (k) Fluoranthène	Chloralcanes C10-C13
Micropolluants organiques	3209 Beta cyfluthrine	Chloraniline-2
Micropolluants organiques	6652 Beta-Hexabromocyclododecane	Chloraniline-3
Micropolluants organiques	1119 Bifénox	Chloraniline-4
Micropolluants organiques	1120 Bifenthine	Chlorobenzène
Micropolluants organiques	1502 Bioresméthine	Chlorbromuron
Micropolluants organiques	1584 Biphenyle	Chlorodinitrobenzène-1,2,4
Micropolluants organiques	2766 Bisphénol-A	Chloroforme (Trichlorométhane)
Micropolluants organiques	1529 Biertanol	Chloroaniline-2
Micropolluants organiques	7345 Bikafen	Chloroaniline-4,2
Micropolluants organiques	5526 Boscalid	Chlorométhylphénol-2,5
Micropolluants organiques	1686 Bromacil	Chlorométhylphénol-2,6
Micropolluants organiques	1859 Biomadiolone	Chlorométhylphénol-4,2
Micropolluants organiques	1122 Bromofome	Chlorométhylphénol-4,3
Micropolluants organiques	1123 Biomphos éthyl	Chloronaphthalène-1
Micropolluants organiques	1124 Biomphos méthyl	Chloronaphthalène-2
Micropolluants organiques	1685 Biompropylate	Chloronitroaniline-4,2
Micropolluants organiques	1125 Bromoxynil	Chloronitrobenzène-1,2
Micropolluants organiques	1941 Bromoxynil octaate	Chloronitrobenzène-1,3
Micropolluants organiques	1860 Bromuconazole	Chloronaphthalène-1,4
Micropolluants organiques	7502 Butencarbe	Chloronitrotoléne-2,3
Micropolluants organiques	1861 Buprimate	Chloronitrotoléne-4,2
Micropolluants organiques	1862 Buprofezine	Chlorophacine
Micropolluants organiques	5710 Butamifos	Chlorophénol-2
Micropolluants organiques	1126 Butraline	Chlorophénol-3

Type	Code SANDRE	Paramètre
Micropolluants organiques	1719	Endosulfan beta
Micropolluants organiques	1742	Endosulfan sulfate
Micropolluants organiques	1181	Endrine
Micropolluants organiques	2941	Endrine aldehyde
Micropolluants organiques	1494	Epichlorohydrine
Micropolluants organiques	1873	EPN
Micropolluants organiques	1744	Epoiconazole
Micropolluants organiques	1182	EPTC
Micropolluants organiques	7504	Equilin
Micropolluants organiques	1809	Estenvalérate
Micropolluants organiques	5397	Estradiol
Micropolluants organiques	6446	Estriol
Micropolluants organiques	5396	Estrone
Micropolluants organiques	5529	Ethametsulfuron-methyl
Micropolluants organiques	2093	Ethephon
Micropolluants organiques	1763	Ethidimuron
Micropolluants organiques	5528	Ethiofencarbe sulfone
Micropolluants organiques	6534	Ethiofencarbe sulfoxyde
Micropolluants organiques	1183	Ethion
Micropolluants organiques	1874	Ethiphencarbe
Micropolluants organiques	1184	Ethofuméstate
Micropolluants organiques	1495	Ethoprophos
Micropolluants organiques	5527	Ethoxysulfuron
Micropolluants organiques	2673	Ethyl tert-butyl ether
Micropolluants organiques	1497	Ethylenbenzène
Micropolluants organiques	5648	Ethylène thioliée
Micropolluants organiques	6601	Ethylenetriée
Micropolluants organiques	2629	Ethynyl estradiol
Micropolluants organiques	5625	Etoiazole
Micropolluants organiques	5760	Etrimos
Micropolluants organiques	2020	Famoxadone
Micropolluants organiques	5761	Famphur
Micropolluants organiques	2057	Féhamidone
Micropolluants organiques	1185	Féharnol
Micropolluants organiques	2742	Fénaqaquin
Micropolluants organiques	1906	Ferbuconazole
Micropolluants organiques	2078	Fenbutatin oxyde
Micropolluants organiques	7513	Fenchlorazole-ethyl
Micropolluants organiques	1186	Fenchlorophos
Micropolluants organiques	2743	Fenhexamid
Micropolluants organiques	1187	Fénitrothion
Micropolluants organiques	5627	Fenilon
Micropolluants organiques	5763	Fenobucarb
Micropolluants organiques	5970	Fenothiocarbe
Micropolluants organiques	1973	Fénoxaprop éthylique
Micropolluants organiques	1967	Fénoxycarbe
Micropolluants organiques	1188	Fenpropathrine
Micropolluants organiques	1700	Fenpropidine
Micropolluants organiques	1189	Fenpropimorph
Micropolluants organiques	1190	Fenthion
Micropolluants organiques	1500	Fénuron
Micropolluants organiques	1701	Fenvatrate
Micropolluants organiques	2009	Fipronil
Micropolluants organiques	1840	Flamprop-isopropyl
Micropolluants organiques	6539	Flamprop-méthyl
Micropolluants organiques	1939	Ficasulfuron
Micropolluants organiques	6393	Flonicamid

Type	Code SANDRE	Paramètre
Micropolluants organiques	2081	Dichloropropane-2,2'
Micropolluants organiques	1834	Dichloropropylène-1,3 Cis
Micropolluants organiques	1835	Dichloropropylène-1,3 Trans
Micropolluants organiques	1169	Dichloroprop
Micropolluants organiques	2544	Dichloroprop-P
Micropolluants organiques	1170	Dichlonovos
Micropolluants organiques	5349	Diclofenac
Micropolluants organiques	1171	Diclofop méthyl
Micropolluants organiques	1172	Dicofol
Micropolluants organiques	5525	Dicotaphos
Micropolluants organiques	2847	Didéméthylisoproturon
Micropolluants organiques	1173	Diefridine
Micropolluants organiques	7507	Dienestrol
Micropolluants organiques	1402	Diéthofencarbe
Micropolluants organiques	2826	Diéthylamine
Micropolluants organiques	2628	Diéthylstilbestrol
Micropolluants organiques	2982	Difenacoum
Micropolluants organiques	1905	Difenoconazole
Micropolluants organiques	5524	Difenoxuron
Micropolluants organiques	2983	Diéthihalone
Micropolluants organiques	1488	Diflubenzuron
Micropolluants organiques	1814	Diflufenicanil
Micropolluants organiques	1870	Dimefuron
Micropolluants organiques	7142	Dimepiperate
Micropolluants organiques	2546	Diméthachlore
Micropolluants organiques	5737	Diméthanémétryn
Micropolluants organiques	1678	Diméthénamide
Micropolluants organiques	5617	Diméthénamid-P
Micropolluants organiques	1175	Diméthoate
Micropolluants organiques	1403	Diméthomorphe
Micropolluants organiques	2773	Diméthylamine
Micropolluants organiques	6292	Diméthylnaniline
Micropolluants organiques	1641	Diméthylphénol-2,4
Micropolluants organiques	6972	Diméthylvinphos
Micropolluants organiques	1698	Dimétian
Micropolluants organiques	5748	dimoxy/strobine
Micropolluants organiques	1871	Dinicconazole
Micropolluants organiques	1578	Dinitrotoluène-2,4
Micropolluants organiques	1577	Dinitrotoluène-2,6
Micropolluants organiques	5619	Dinocap
Micropolluants organiques	1491	Dinosobe
Micropolluants organiques	1176	Dinotéba
Micropolluants organiques	7494	Diocetylétain cation
Micropolluants organiques	5743	Dioxacarb
Micropolluants organiques	5478	Diphényleamine
Micropolluants organiques	7495	Diphényletaien cation
Micropolluants organiques	1699	Diquat
Micropolluants organiques	1492	Disulfoton
Micropolluants organiques	5745	Dinalimfos
Micropolluants organiques	1177	Duron
Micropolluants organiques	1490	DNOC
Micropolluants organiques	3383	Dodecyl phénol
Micropolluants organiques	2933	Dodine
Micropolluants organiques	7515	DPU (Diphényluoré)
Micropolluants organiques	5751	Edifenphos
Micropolluants organiques	1493	EDTA
Micropolluants organiques	1178	Endosulfan alpha

Type	Code SANDRE	Paramètre	Type	Code SANDRE	Paramètre
Micropolluants organiques	2810	Floresulam	Micropolluants organiques	1405	Hexaconazole
Micropolluants organiques	6545	Fluazifop	Micropolluants organiques	1875	Hexalumuron
Micropolluants organiques	1825	Fluazifop-butyl	Micropolluants organiques	1673	Hexazinone
Micropolluants organiques	2984	Fluazinam	Micropolluants organiques	1876	Hexylthiazox
Micropolluants organiques	2022	Fludioxonil	Micropolluants organiques	1704	Imazalil
Micropolluants organiques	1676	Fluénoxuron	Micropolluants organiques	1695	Imazanéthabenz
Micropolluants organiques	2023	Flumioxazine	Micropolluants organiques	1911	Imazanéthabenz méthyl
Micropolluants organiques	1501	Fluométruron	Micropolluants organiques	2986	Imazanox
Micropolluants organiques	1191	Fluoranthène	Micropolluants organiques	2890	Imazapyr
Micropolluants organiques	1623	Fluorène	Micropolluants organiques	2860	IMAZAQUINE
Micropolluants organiques	7073	Fluorures	Micropolluants organiques	7510	Imbenconazole
Micropolluants organiques	5638	Fluoxastrobine	Micropolluants organiques	1877	Imidaclopride
Micropolluants organiques	2565	Fluparsulfuron methyl/e	Micropolluants organiques	1204	Indeno (123c) Pyrène
Micropolluants organiques	2056	Fluquinconazole	Micropolluants organiques	5483	Indoxacarbe
Micropolluants organiques	1974	Fluridone	Micropolluants organiques	2741	Iodocarbe
Micropolluants organiques	1675	Flurochlorfone	Micropolluants organiques	2025	Iodosulfophos
Micropolluants organiques	1765	Fluroxypyr	Micropolluants organiques	2563	Iprobenfos
Micropolluants organiques	2547	Fluroxypyr-méthyl	Micropolluants organiques	1205	Iprodione
Micropolluants organiques	2024	Fluprimidol	Micropolluants organiques	2871	Ioxynil méthyl éster
Micropolluants organiques	2008	Flutamone	Micropolluants organiques	1942	Ioxynil octanoate
Micropolluants organiques	1194	Flusilazole	Micropolluants organiques	7508	Ipoconazole
Micropolluants organiques	2985	Flutolanil	Micropolluants organiques	5777	Iprobenfos
Micropolluants organiques	1503	Flutriafol	Micropolluants organiques	1206	Iprodione
Micropolluants organiques	1192	Fojefol	Micropolluants organiques	2951	Iprovalicarbe
Micropolluants organiques	2075	Fomesafen	Micropolluants organiques	1935	Irgarol
Micropolluants organiques	1674	Fonofos	Micropolluants organiques	1976	Isazofos
Micropolluants organiques	2806	Foramsulfuron	Micropolluants organiques	1836	Isobutylbenzene
Micropolluants organiques	5969	Forchlorfenuron	Micropolluants organiques	1207	Isodrine
Micropolluants organiques	1702	Formaldéhyde	Micropolluants organiques	1829	Isophenphos
Micropolluants organiques	1703	Formétanate	Micropolluants organiques	5781	Isoprocarb
Micropolluants organiques	1504	Formothion	Micropolluants organiques	1633	Isopropylbenzène
Micropolluants organiques	1975	Foséthyl aluminium	Micropolluants organiques	2681	Isopropyltoluène o
Micropolluants organiques	2744	Fosthiazate	Micropolluants organiques	1856	Isopropyltoluène p
Micropolluants organiques	1908	Furatixyl	Micropolluants organiques	1208	Isoproturon
Micropolluants organiques	2567	Furathiocarbé	Micropolluants organiques	2722	Isothiocyanate de méthyle
Micropolluants organiques	7441	Furilazole	Micropolluants organiques	1672	Isoxaben
Micropolluants organiques	6653	gamma-Hexabromocyclodécane	Micropolluants organiques	2807	Isoxadifen-éthyle
Micropolluants organiques	1526	Glufosinate	Micropolluants organiques	1945	Isoxaflutol
Micropolluants organiques	2731	Glufosinate-ammonium	Micropolluants organiques	5784	Ioxathion
Micropolluants organiques	1506	Glyphosate	Micropolluants organiques	7505	Karbutilate
Micropolluants organiques	5508	Haloifuron-méthyl	Micropolluants organiques	1950	Kresoxim méthyl
Micropolluants organiques	2047	Haloizole	Micropolluants organiques	1094	Lambda Cyhalothrine
Micropolluants organiques	1833	Haloxypéthoxytéthyl	Micropolluants organiques	1406	Lénacile
Micropolluants organiques	1200	H-Ch alpha	Micropolluants organiques	1209	Linuron
Micropolluants organiques	1201	H-Ch beta	Micropolluants organiques	2026	Lußenuron
Micropolluants organiques	1202	H-Ch delta	Micropolluants organiques	1210	Malathion
Micropolluants organiques	2046	H-Ch epsilon	Micropolluants organiques	5787	Malathion-o-analog
Micropolluants organiques	1203	H-Ch gamma	Micropolluants organiques	1211	Mancozéba
Micropolluants organiques	2599	Hepabromodiphényl éther	Micropolluants organiques	6399	Mandipropamid
Micropolluants organiques	1197	Héptachlore	Micropolluants organiques	1705	Manèbe
Micropolluants organiques	1748	Héptachlore époxide cis	Micropolluants organiques	2745	MCPA-1-butyl ester
Micropolluants organiques	1749	Héptachlore époxide trans	Micropolluants organiques	2746	MCPA-2-ethylhexyl ester
Micropolluants organiques	1910	Héptenophos	Micropolluants organiques	2747	MCPA-butoxyethyl ester
Micropolluants organiques	2600	H-Exabromodiphényl éther	Micropolluants organiques	2748	MCPA-ethyl-ester
Micropolluants organiques	1199	Hexachlorobenzène	Micropolluants organiques	2749	MCPA-méthyl-ester
Micropolluants organiques	1652	Hexachlorobutadiène	Micropolluants organiques	5789	Mécabam
Micropolluants organiques	1656	Hexachloroéthane	Micropolluants organiques	1214	Mécoprop

Type	Code SANDRE	Paramètre
Micropolluants organiques	1517	Naphthalène
Micropolluants organiques	1518	Naphiol-1
Micropolluants organiques	1519	Napropamide
Micropolluants organiques	1937	Napidame
Micropolluants organiques	1520	Néuron
Micropolluants organiques	1882	Nicosulfuron
Micropolluants organiques	2614	Nitrobenzène
Micropolluants organiques	1229	Nitroène
Micropolluants organiques	1637	Nitrophénol-2
Micropolluants organiques	1957	Nonylphénols
Micropolluants organiques	1669	Norfuralon
Micropolluants organiques	2737	Norfuralon desméthylique
Micropolluants organiques	1883	Nilarimol
Micropolluants organiques	2609	Octabromodiphényl/ether
Micropolluants organiques	2904	Octiphénols
Micropolluants organiques	2027	Oflurace
Micropolluants organiques	1230	Ométhazole
Micropolluants organiques	1668	Oryzaïn
Micropolluants organiques	2068	Oxadargyl
Micropolluants organiques	1667	Oxadazon
Micropolluants organiques	1666	Oxadixyl
Micropolluants organiques	1850	Oxamyl
Micropolluants organiques	5510	Oxsulfuron
Micropolluants organiques	1231	Oxydémeton méthyl
Micropolluants organiques	1952	Oxyfluorfène
Micropolluants organiques	1920	p-(t-octyl)phénol
Micropolluants organiques	2545	Paciobutrazone
Micropolluants organiques	5806	Paraoxon
Micropolluants organiques	1522	Paraquat
Micropolluants organiques	2618	para-sec-butyl/phenol
Micropolluants organiques	1232	Parathion éthyl
Micropolluants organiques	1233	Parathion méthyl
Micropolluants organiques	1242	PCB 101
Micropolluants organiques	1627	PCB 105
Micropolluants organiques	5433	PCB 114
Micropolluants organiques	1243	PCB 118
Micropolluants organiques	5434	PCB 123
Micropolluants organiques	1245	PCB 125
Micropolluants organiques	2943	PCB 126
Micropolluants organiques	1089	PCB 128
Micropolluants organiques	1884	PCB 138
Micropolluants organiques	1244	PCB 149
Micropolluants organiques	1885	PCB 153
Micropolluants organiques	1245	PCB 156
Micropolluants organiques	2032	PCB 157
Micropolluants organiques	5435	PCB 158
Micropolluants organiques	5436	PCB 167
Micropolluants organiques	1090	PCB 169
Micropolluants organiques	1626	PCB 170
Micropolluants organiques	1246	PCB 180
Micropolluants organiques	5437	PCB 189
Micropolluants organiques	1625	PCB 194
Micropolluants organiques	1624	PCB 209
Micropolluants organiques	1239	PCB 28
Micropolluants organiques	1886	PCB 31
Micropolluants organiques	1240	PCB 35
Micropolluants organiques	2031	PCB 37
Micropolluants organiques	1628	PCB 44

Type	Code SANDRE	Paramètre
Micropolluants organiques	2870	Mecoprop n isochutyl ester
Micropolluants organiques	2750	Mecoprop-1-octyl ester
Micropolluants organiques	2751	Mecoprop-2,4,4-triméthylphénylestér
Micropolluants organiques	2752	Mecoprop-2-butylhexylestér
Micropolluants organiques	2753	Mecoprop-2-éthylhexylestér
Micropolluants organiques	2754	Mecoprop-2-octylestér
Micropolluants organiques	2755	Mecoprop-méthyl ester
Micropolluants organiques	1968	Ménaçet
Micropolluants organiques	2930	Méfenytridéthyl
Micropolluants organiques	2568	Méluide
Micropolluants organiques	2987	Méfonoxam
Micropolluants organiques	5533	Mepamipyrim
Micropolluants organiques	5791	Mephosfolan
Micropolluants organiques	1969	Mépiquat
Micropolluants organiques	2089	Mépiquat chlorure
Micropolluants organiques	1878	Mépronil
Micropolluants organiques	1510	Mercaptodiméthyl
Micropolluants organiques	1804	Mercaptodiméthyl sulfoxyde
Micropolluants organiques	2578	Messulfuron méthyle
Micropolluants organiques	2076	Mesotrine
Micropolluants organiques	6579	Méta Para-Cresol
Micropolluants organiques	1706	Métabenzthiazuron
Micropolluants organiques	1796	Métacléhyde
Micropolluants organiques	1215	Méamitrone
Micropolluants organiques	1670	Méazachlore
Micropolluants organiques	1879	Méconazole
Micropolluants organiques	1216	Méhabenzthiazuron
Micropolluants organiques	5792	Méhacritos
Micropolluants organiques	1671	Méhaminophos
Micropolluants organiques	1217	Méhidaithion
Micropolluants organiques	1218	Méhomyl
Micropolluants organiques	1511	Méhoxychlore
Micropolluants organiques	1619	Méhoxy-2-Fluorathène
Micropolluants organiques	1618	Méhoxy-2-Naphthalène
Micropolluants organiques	2067	Métram
Micropolluants organiques	1515	Mébromuron
Micropolluants organiques	1221	Méthachlore
Micropolluants organiques	5796	Métohalchloré
Micropolluants organiques	1912	Métosulame
Micropolluants organiques	1222	Métxuron
Micropolluants organiques	5654	Métrafenone
Micropolluants organiques	1225	Méthobiazine
Micropolluants organiques	1797	Métsulfuron méthyl
Micropolluants organiques	1227	Métoùuron
Micropolluants organiques	1226	Mévinphos
Micropolluants organiques	7143	Mexacarbate
Micropolluants organiques	1707	Mollinate
Micropolluants organiques	2542	Monobutylétain cation
Micropolluants organiques	1880	Monocrotophos
Micropolluants organiques	1227	Monolinuron
Micropolluants organiques	7496	Monooctylétain cation
Micropolluants organiques	7497	Monophényletian cation
Micropolluants organiques	1228	Monuron
Micropolluants organiques	7475	Morpholine
Micropolluants organiques	1512	MTBE
Micropolluants organiques	6342	Musc xyliène
Micropolluants organiques	1881	Myclobutanil
Micropolluants organiques	1516	Naled

Type	Code SANDRE	Paramètre
Micropolluants organiques	1241 PCB 52	Proquinazid
Micropolluants organiques	2048 PCB 54	Pro sulfofcarbe
Micropolluants organiques	5803 PCB 66	Prosulfuron
Micropolluants organiques	1091 PCB 77	Prothioconazole
Micropolluants organiques	5432 PCB 81	Proximpham
Micropolluants organiques	1762 Perconazole	Pymétozine
Micropolluants organiques	1887 Pencycuron	Pyraclofos
Micropolluants organiques	1234 Pendiméthrine	Pyraclotrobine
Micropolluants organiques	6394 Penoxsulam	Pyrafufen-ethyl
Micropolluants organiques	1888 Pentachlorobenzène	Pyrazophos
Micropolluants organiques	1235 Pentachlorophénol	Pyrazosulfuron-ethyl
Micropolluants organiques	7509 Penthiopyrad	Pyridaphenthon
Micropolluants organiques	6548 Perfluorooctanesulfonamide (PFOSA)	Pyridate
Micropolluants organiques	1523 Perméthrine	Pyriproxyfen
Micropolluants organiques	1499 Phénamiphos	Pyriproxyfen
Micropolluants organiques	1524 Phénanthrène	Pyridabéne
Micropolluants organiques	1236 Phénmediphane	Pyridaphentone
Micropolluants organiques	2876 Phenol, 4-(3-methylbutyl)-	Pyridate
Micropolluants organiques	5813 Phenthate	Pyridoxine
Micropolluants organiques	1525 Phorate	Pyrimétham
Micropolluants organiques	1237 Phosalone	Pyrimiphos éthyl
Micropolluants organiques	1971 Phosmet	Pyrimiphos méthyl
Micropolluants organiques	1238 Phosphamidon	Pyriproxyfen
Micropolluants organiques	1665 Phoxime	Quinalphos
Micropolluants organiques	1708 Piclorame	Quinmerac
Micropolluants organiques	5665 Picolinafen	Quinoxifen
Micropolluants organiques	2669 Picoxystrobin	Quintoènne
Micropolluants organiques	1709 Piperonil butoxide	Quixalofop
Micropolluants organiques	5819 Piperophos	Quixalofop éthyl
Micropolluants organiques	1528 Primicarbe	Resmethrine
Primingarbe Desmethyl	5531 Primingarbe Fomamido Desmethyl	Rimsulfuron
p-Nitrotoluène	5821 Prettachlore	Roténone
Pochlorazole	1949 Prochloraze	S. Météolachlor
Procymidone	1253 Procymidone	Quazalop
Profénoids	1664 Profénoids	Quazazone
Propiconazole	1889 Propiconazole	Quazazone
Propiconazole	1710 Promécarbe	Quazazone
Prométon	1711 Propiconazole	Quazazone
Popachlore	1254 Propiconazole	Quazazone
Propamocarb	1712 Propiconazole	Quazazone
Propanil	6398 Propiconazole	Quazazone
Popanil	1532 Propiconazole	Quazazone
Popanil	6964 Propiconazole	Quazazone
Popiquazafop	1972 Propiquazafop	Quazazone
Popargite	1255 Propargite	Quazazone
Popazine	1256 Propazine	Quazazone
Popazine 2-hydroxy	5968 Propazine 2-hydroxy	Quazazone
Popéamphos	1533 Popéamphos	Quazazone
Pophamine	1534 Pophamine	Quazazone
Popiconazole	1257 Popiconazole	Quazazone
Popinéba	2989 Popinéba	Quazazone
Popoxur	1535 Popoxur	Quazazone
Popoxytahazole-sodium	5602 Popoxytahazole-sodium	Quazazone
Polybénzène	1837 Polybénzène	Quazazone
Polyéthiuree	6214 Polyéthiuree	Quazazone
Pipyazamide	1414 Pipyazamide	Quazazone

Annexe 2

Liste des micropolluants analysés sur sédiments

Type	Code SANDRE	Paramètre
Micropolluants métalliques		
Aluminium	1370	
Antimoine	1376	
Argent	1368	
Arsenic	1369	
Baryum	1396	
Eryllum	1377	
Eiore	1362	
Cadmium	1388	
Chrome	1389	
Cobalt	1379	
Cuivre	1392	
Etain	1380	
Fer	1385	
Manganèse	1394	
Mercure	1387	
Molybdène	1395	
Nickel	1386	
Ptomb	1382	
Sélénium	1385	
Tellure	2559	
Thallium	2555	
Titane	1373	
Uranium	1361	
Vanadium	1384	
Zinc	1383	
Etain	1380	
Fer	1393	
Manganèse	1394	
Mercure	1387	
Molybdène	1395	
Nickel	1386	
Ptomb	1382	
Sélénium	1385	
Tellure	2559	
Thallium	2555	
Uranium	1361	
Vanadium	1384	
Zinc	1383	
Micropolluants organiques		
4-nonylphénols ramifiés	5474	
4-tert-butylphénol	1958	
4-tert-octylphénol	2610	
Acéraphténe	1959	
Acéraphytène	1453	
Acéraphytène	1622	
Acéraphytène	1903	
Acétochlore	6560	
Acide perfluorooctanesulfonique (PFOS)	1688	
Actonifen	1688	
Aldrine	1103	
Alphanéthrine	1812	
Anthracène	1458	
Azinphos éthyl	1110	
Azoxystrobine	1951	
BDE 196	5989	
BDE 197	5990	
BDE 198	5991	
BDE 203	5986	

Type	Code SANDRE	Paramètre
Micropolluants organiques		
BDE 204	5996	
BDE 205	5997	
BDE 100	2915	
BDE 138	2913	
BDE 53	2912	
BDE 154	2911	
BDE 83	2910	
BDE 209	1815	
BDE 28	2920	
BDE 47	2919	
BDE 77	7437	
BDE 99	2916	
Benzène	1114	
Benzidine	1607	
Benzo (a) Anthracène	1082	
Benzo (b) Pyrène	1115	
Benzo (ghi) Pérylène	1116	
Benzo (k) Fluoranthène	1117	
Bifénox	1119	
Biphényle	1584	
Bromoforme	1122	
Bromoxynil	1125	
Bromoxynil octanoate	1941	
Chlorfenwiphos	1464	
Chlorméphos	1134	
Chlorgaçanes C10-C13	1955	
Chloraniline-2	1593	
Chloraniline-3	1592	
Chloraniline-4	1591	
Chlorobenzène	1467	
Chlorodinitrobenzène-1,2,4	1612	
Chloroforme (Trichlorométhane)	1135	
Chlorométhylphénol-2,5	1635	
Chlorométhylphénol-4,3	1636	
Chlorotroantiline-4,2	1594	
Chlorotrobenzène-1,2	1469	
Chlorotrobenzène-1,3	1468	
Chlorotrobenzène-1,4	1470	
Chlorophénol-2	1471	
Chlorophénol-3	1651	
Chlorophénol-4	1650	
Chloroprène	2655	
Chloroprène-3	1602	
Chlorotoluène-2	1601	
Chlorotoluène-3	1600	
Chlorotoluène-4	1474	
Chloroprophane	1083	
Chloroprophane éthyl	1540	
Chloroprophos méthyl	1476	
Chrysène	2017	
Clomazone	1639	
Crésol-méta	1640	
Crésol-ortho	1638	
Crésol-para	1140	
Cyperméthrine	1680	
Cyproconazole		

Type	Code SANDRE	Paramètre	Type	Code SANDRE	Paramètre
Micropollutants organiques	1359	Cyprodinil	Micropollutants organiques	7495	Diphenyletan cation
Micropollutants organiques	1143	DDO-o,p'	Micropollutants organiques	1178	Endosulfan alpha
Micropollutants organiques	1144	DDD-p,p'	Micropollutants organiques	1179	Endosulfan beta
Micropollutants organiques	1145	DDE-o,p'	Micropollutants organiques	11742	Endosulfan sulfate
Micropollutants organiques	1146	DDE-p,p'	Micropollutants organiques	1181	Endrine
Micropollutants organiques	1147	DDT-o,p'	Micropollutants organiques	11744	Epoiconazole
Micropollutants organiques	1148	DDTp,p'	Micropollutants organiques	1497	Ethylbenzène
Micropollutants organiques	6616	DEHP	Micropollutants organiques	1187	Fénitrothion
Micropollutants organiques	1149	Deltaméthrine	Micropollutants organiques	1367	Fénoxycarbe
Micropollutants organiques	1157	Diazinon	Micropollutants organiques	2022	Fludioxonil
Micropollutants organiques	1621	Dibenz (ah) Anthracène	Micropollutants organiques	1191	Fluoranthène
Micropollutants organiques	1158	Dibromochlorméthane	Micropollutants organiques	1623	Fluorène
Micropollutants organiques	1498	Dibromoéthane-1,2	Micropollutants organiques	2547	Fluroxypyr-méthyl
Micropollutants organiques	7074	Dibutylétain cation	Micropollutants organiques	1194	Fusilazole
Micropollutants organiques	1160	Dichloréthane-1,1	Micropollutants organiques	1200	HCH alpha
Micropollutants organiques	1161	Dichloréthane-1,2	Micropollutants organiques	1201	HCH beta
Micropollutants organiques	1162	Dichlorohydrène-1,1	Micropollutants organiques	1202	HCH delta
Micropollutants organiques	1456	Dichlorothylène-1,2 cis	Micropollutants organiques	2046	HCH epsilon
Micropollutants organiques	1727	Dichlorothylène-1,2 trans	Micropollutants organiques	1203	HCH gamma
Micropollutants organiques	1590	Dichloroaniline-2,3	Micropollutants organiques	1197	Heptachlore
Micropollutants organiques	1589	Dichloroaniline-2,4	Micropollutants organiques	1748	Heptachlore époxide cis
Micropollutants organiques	1588	Dichloroaniline-2,5	Micropollutants organiques	1749	Heptachlore époxide trans
Micropollutants organiques	1587	Dichloroaniline-2,6	Micropollutants organiques	1199	Hexachlorobenzène
Micropollutants organiques	1586	Dichloroaniline-3,4	Micropollutants organiques	1632	Hexachlorobutadiène
Micropollutants organiques	1585	Dichloroaniline-3,5	Micropollutants organiques	1656	Hexachloréthane
Micropollutants organiques	1165	Dichlorobenzène-1,2	Micropollutants organiques	1405	Hexaconazole
Micropollutants organiques	1164	Dichlorobenzène-1,3	Micropollutants organiques	1204	Indeno (123c) Pyrène
Micropollutants organiques	1166	Dichlorobenzène-1,4	Micropollutants organiques	1206	Ipridione
Micropollutants organiques	1167	Dichlorobromométhane	Micropollutants organiques	1935	Irgarol
Micropollutants organiques	1168	Dichlorométhane	Micropollutants organiques	1207	Isodrine
Micropollutants organiques	1617	Dichloronitrobenzène-2,3	Micropollutants organiques	1633	Isopropylbenzène
Micropollutants organiques	1616	Dichloronitrobenzène-2,4	Micropollutants organiques	1950	Kresoxim méthyl
Micropollutants organiques	1615	Dichloronitrobenzène-2,5	Micropollutants organiques	1094	Lambda Cyhalothrine
Micropollutants organiques	1614	Dichloronitrobenzène-3,4	Micropollutants organiques	1209	Linuron
Micropollutants organiques	1613	Dichloronitrobenzène-3,5	Micropollutants organiques	1619	Méthyl-2-Fluoranthène
Micropollutants organiques	1645	Dichlorophénol-2,3	Micropollutants organiques	1618	Méthyl-2-Naphthalène
Micropollutants organiques	1486	Dichlorophénol-2,4	Micropollutants organiques	2542	Monobutyrlain cation
Micropollutants organiques	1649	Dichlorophénol-2,5	Micropollutants organiques	7496	Monooctylétain cation
Micropollutants organiques	1648	Dichloropropene-2,6	Micropollutants organiques	7487	Monophénylétain cation
Micropollutants organiques	1647	Dichloropropene-3,4	Micropollutants organiques	1517	Naphthalène
Micropollutants organiques	1646	Dichloropropene-3,5	Micropollutants organiques	1519	Napropamide
Micropollutants organiques	1655	Dichlorophénol-2,3	Micropollutants organiques	1637	Nitrophénol-2
Micropollutants organiques	1654	Dichlorophénol-2,4	Micropollutants organiques	1957	Nonylphénols
Micropollutants organiques	2081	Dichloropropane-1,3	Micropollutants organiques	1669	Nonflurazon
Micropollutants organiques	2082	Dichloropropane-2,2	Micropollutants organiques	1667	Oxadazon
Micropollutants organiques	1487	Dichloropropène-1,1	Micropollutants organiques	1920	p-(t-octyl)phénol
Micropollutants organiques	1653	Dichloropropylène-1,3 (cis + trans)	Micropollutants organiques	1232	Parathion éthyl
Micropollutants organiques	1169	Dichloroprop	Micropollutants organiques	1242	PCB 101
Micropollutants organiques	1170	Dichloros	Micropollutants organiques	1627	PCB 105
Micropollutants organiques	1172	Dicfol	Micropollutants organiques	5433	PCB 114
Micropollutants organiques	1173	Dieldrine	Micropollutants organiques	1243	PCB 118
Micropollutants organiques	1814	Difféfénicanil	Micropollutants organiques	5434	PCB 123
Micropollutants organiques	1403	Diméthomorphe	Micropollutants organiques	1089	PCB 126
Micropollutants organiques	1641	Diméthylphénol-2,4	Micropollutants organiques	1244	PCB 138
Micropollutants organiques	1578	Dinitrotoluène-2,4	Micropollutants organiques	1245	PCB 153
Micropollutants organiques	1577	Dinitrotoluène-2,6	Micropollutants organiques	2032	PCB 156
Micropollutants organiques	7494	Dioclylétain cation	Micropollutants organiques	5435	PCB 157

Type	Code SANDRE	Paramètre	Type	Code SANDRE	Paramètre
Micropolluants organiques	5436	PCB 167	Micropolluants organiques	1642	Trichlorophénol-2,3,6
Micropolluants organiques	1090	PCB 169	Micropolluants organiques	1548	Trichlorophénol-2,4,5
Micropolluants organiques	1626	PCB 170	Micropolluants organiques	1549	Trichlorophénol-2,4,6
Micropolluants organiques	1246	PCB 180	Micropolluants organiques	1723	Trichlorophénol-3,4,5
Micropolluants organiques	5437	PCB 189	Micropolluants organiques	1196	Trichlorofluoroéthane-1,1,2
Micropolluants organiques	1625	PCB 194	Micropolluants organiques	2885	Triclohexylétain cation
Micropolluants organiques	1624	PCB 209	Micropolluants organiques	1289	Trifluraline
Micropolluants organiques	1239	PCB 28	Micropolluants organiques	2736	Trinitrotoluène
Micropolluants organiques	1240	PCB 35	Micropolluants organiques	2886	Trioctylétain cation
Micropolluants organiques	1628	PCB 44	Micropolluants organiques	6372	Triphenylétain cation
Micropolluants organiques	1241	PCB 52	Micropolluants organiques	1293	Xylène-meta
Micropolluants organiques	1091	PCB 77	Micropolluants organiques	1292	Xylène-ortho
Micropolluants organiques	5432	PCB 81	Micropolluants organiques	1294	Xylène-para
Pendiméthaline	1234				
Pentachlorobenzène	1888				
Phénanthrène	1235				
Phénanthrène	1524				
Phoxime	1665				
Procymidone	1664				
Propyzamide	1414				
Pyryène	1537				
Quinoxifen	2028				
Somme de 3 Hexabromocyclodécanes	7128				
Sulconazole	1662				
Tébuconazole	1694				
Tébutame	1661				
Terbutylazine	1268				
Terbutyne	1269				
Tetrabutylétain	1936				
Tétrachloréthane-1,1,1,2	1270				
Tétrachloréthane-1,1,2,2	1271				
Tétrachloréthylène	1272				
Tétrachlorobenzène-1,2,3,4	2010				
Tétrachlorobenzène-1,2,3,5	2536				
Tétrachlorobenzène-1,2,4,5	1631				
Tétrachlorophénol-2,3,4,5	1273				
Tétrachlorophénol-2,3,4,6	1274				
Tétrachlorophénol-2,3,5,6	1275				
Tétrachlorure de C	1276				
Tétraconazole	1660				
Toluène	1278				
Tributylétain cation	2879				
Tributylphosphate	1847				
Trichlopyr	1288				
Trichloréthane-1,1,1	1284				
Trichlotéthane-1,1,2	1285				
Trichloréthylène	1286				
Trichloroaniline-2,3,4	2734				
Trichloroaniline-2,3,5	7017				
Trichloroaniline-2,4,5	2732				
Trichloroaniline-2,4,6	1595				
Trichlorobenzène-1,2,3	1630				
Trichlorobenzène-1,2,4	1283				
Trichlorobenzène-1,3,5	1629				
Trichlorofluorométhane	1195				
Trichlorophénol-2,3,4	1644				
	1643				

Annexe 3

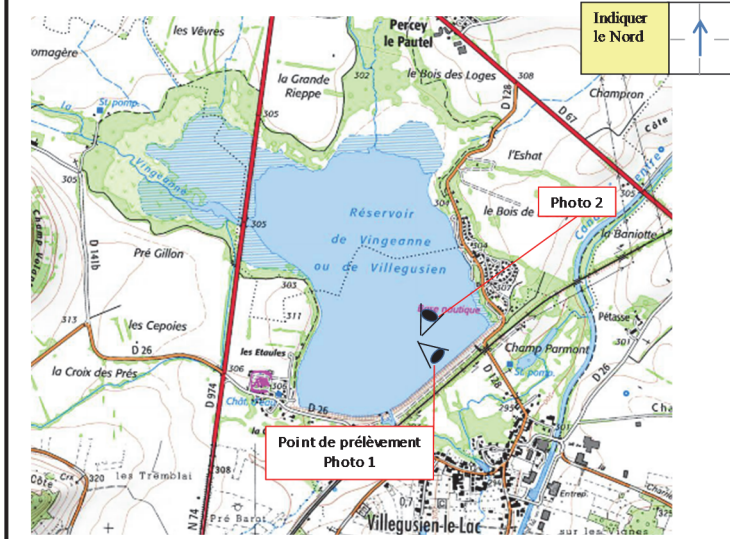
Comptes rendus des campagnes de prélèvements physico-chimiques et phytoplanctoniques

Relevé phytoplanctonique en plan d'eau
DONNEES GENERALES PLAN D'EAU - STATION

v.3.3.1

Septembre 2009

Plan d'eau :	Retenue de Villegusien	Date :	04/03/2014
Nom station :	Point profond	Code station :	U0905003
Organisme / opérateur :	GREBE/ E. Bourgeot - B. Touchart	Réf. dossier :	AERMC PE

LOCALISATION PLAN D'EAU			
Commune :	Longeau-Percey (52)		
Plan d'eau marnant :	non	Superficie du bassin versant :	691 km ²
HER :	HERI : 10-Côtes calcaire Est	Superficie du plan d'eau :	1,5 km ²
Profondeur maximale :	9,7 m	Profondeur moyenne :	m
Carte :	(extrait IGN 1/25 000 ème)		

LOCALISATION STATION				
Coordonnées du point :	relevées sur :	GPS		
Lambert 93 (système français) :	(en m)	X	Y	Altitude
		873495	6740225	303
WGS 84 (système international) :	données GPS (en dms)	N		Altitude (m)
Profondeur :	7	m		
Photos du site :	(indiquer l'angle de prise de vue sur la carte)			
	 			
Remarques et observations :	<p>Profondeur = Profondeur maximale mesurée le jour du prélèvement.</p> <p>Photo 1: Vue vers le barrage depuis le point de prélèvement. Photo 2: Vue vers la mise à l'eau depuis le point de prélèvement.</p>			

Relevé phytoplanctonique en plan d'eau

v.3.3.2

DONNEES GENERALES CAMPAGNE

juin 2012

Plan d'eau :	Retenue de Villegusien	Date :	04/03/2014
Station ou n° d'échantillon :	Point profond	Code lac :	U0905003
Organisme / opérateur :	GREBE / F. Bourgeot - B. Touchart	Réf. dossier :	AERMC PE

STATION					
Coordonnées de la station	relevées sur :	GPS			
Lambert 93 (système français)	(en m)	X	Y	Altitude (m) :	303,0
		873495	6740225		
WGS 84 (système international)	données GPS (en dms)	N		Altitude (m) :	
Profondeur (m) :		7			
Conditions d'observation :	Instensité du vent :	faible			
	météo :	temps sec fortement nuageux			
	Surface de l'eau :	faiblement agitée			
	Hauteur des vagues :	0,05			m
	Bloom algal :	non			
Marnage :	oui	niveau des eaux par rapport à la végétation de ceinture (pour les plans d'eau marnant) :		0,5	m
Remarques :					

PRELEVEMENTS					
Heure début de relevé :	16:05	Heure de fin de relevé :	17:30		
Prélèvements réalisés :	<input checked="" type="checkbox"/> phytoplancton <input checked="" type="checkbox"/> chlorophylle <input checked="" type="checkbox"/> eau	Matériel employé :		<input type="checkbox"/> bouteille intégratrice <input checked="" type="checkbox"/> bouteille Van Dorn <input type="checkbox"/> pompe	
	<input type="checkbox"/> sédiment <input type="checkbox"/> macrophytes <input type="checkbox"/> oligochètes <input type="checkbox"/> autres, préciser :	Volume filtré pour la chlorophylle (ml) :			
		Volume de Lugol ajouté pour le phytoplancton (ml) :		1000	4
Remarques, observations :	<p>Dépot des échantillons d'eau au transporteur à 19:00.</p> <p>Prélèvement de fond réalisé à 6 m.</p> <p>Prélèvement intégré phytoplancton réalisé à la bouteille verticale type Van Dorn.</p> <p>Prélèvement intégré et fond physico-chimie et micropolluants réalisés à la bouteille verticale type Van Dorn (Echantillonnage ponctuel continu sur 3.25 m).</p> <p>Température de l'air : 8,2°C.</p>				

Relevé phytoplanctonique en plan d'eau
DONNEES GENERALES PLAN D'EAU - STATION

v.3.3.1

Septembre 2009

Plan d'eau :	Retenue de Villegusien	Date :	21/05/2014
Nom station :	Point profond	Code station :	U0905003
Organisme / opérateur :	GREBE / F. Bourgeot - A. Delvey	Réf. dossier :	AERMC PE

LOCALISATION PLAN D'EAU			
Commune :	Longeau-Percey (52)		
Plan d'eau marnant :	non	Superficie du bassin versant :	691 km ²
HERI :	HERI : 10-Côtes calcaire Est	Superficie du plan d'eau :	1,5 km ²
Profondeur maximale :	9,7 m	Profondeur moyenne :	m
Carte :	(extrait IGN 1/25 000 ème)		
		Indiquer le Nord	
		Photo 1	Photo 2

LOCALISATION STATION				
Coordonnées du point :	relevées sur :	GPS		
Lambert 93 (système français) :	(en m)	X	Y	Altitude
		873468	6740203	304
WGS 84 (système international) :	données GPS (en dms)	N		Altitude (m)
Profondeur :	6	m		
Photos du site :				
Remarques et observations :	<p>Profondeur = Profondeur maximale mesurée le jour du prélèvement.</p> <p>Photo 1: Vue vers le Nord depuis le point de prélèvement. Photo 2: Vue vers la mise à l'eau depuis le point de prélèvement.</p>			

Relevé phytoplanctonique en plan d'eau

v.3.3.2

DONNEES GENERALES CAMPAGNE

juin 2012

Plan d'eau :	Retenue de Villegusien	Date :	21/05/2014
Station ou n° d'échantillon :	Point profond	Code lac :	U0905003
Organisme / opérateur :	GREBE/ F. Bourgeot - A. Delvoy	Réf. dossier :	AERMC PE

STATION					
Coordonnées de la station	relevées sur :	GPS			
Lambert 93 (système français)	(en m)	X	Y	Altitude (m) :	304,0
		873468	6740203		
WGS 84 (système international)	données GPS (en dms)	N		Altitude (m) :	
Profondeur (m) :		6			
Conditions d'observation :	Instensité du vent :	faible			
	météo :	temps sec faiblement nuageux			
	Surface de l'eau :	lisse			
	Hauteur des vagues :				
	Bloom algal :	non			
Marnage :	oui	niveau des eaux par rapport à la végétation de ceinture (pour les plans d'eau marnant) :		1	m
Remarques :					

PRELEVEMENTS					
Heure début de relevé :	17:15	Heure de fin de relevé :	18:30		
Prélèvements réalisés :	<input checked="" type="checkbox"/> phytoplancton <input checked="" type="checkbox"/> chlorophylle <input checked="" type="checkbox"/> eau		Matériel employé :	<input type="checkbox"/> bouteille intégratrice <input checked="" type="checkbox"/> bouteille Van Dorn <input type="checkbox"/> pompe	
	<input type="checkbox"/> sédiment <input type="checkbox"/> macrophytes <input checked="" type="checkbox"/> oligochètes <input type="checkbox"/> autres, préciser :		Volume filtré pour la chlorophylle (ml) :	1000	
Remarques, observations :	<p>Surface de l'eau : lisse, hauteur des vagues : 0 m.</p> <p>Dépôt des échantillons d'eau au laboratoire le 22/05 à 18:00.</p> <p>Prélèvement de fond réalisé à 5 m.</p> <p>Prélèvement intégré phytoplancton/chlorophylle réalisé à la bouteille verticale type Van Dorn.</p> <p>Prélèvement intégré et fond physico-chimie et micropolluants réalisés à la bouteille verticale type Van Dorn (Echantillonnage ponctuel continu sur 3.12 m).</p> <p>Température de l'air : 25,6°C - Pression atmosphérique : 950 hpa</p>				

Relevé phytoplanctonique en plan d'eau

v.3.3.1

DONNEES GENERALES PLAN D'EAU - STATION

Septembre 2009

Plan d'eau :	Retenue de Villegusien	Date :	29/07/2014
Nom station :	Point profond	Code station :	U0905003
Organisme / opérateur :	GREBE / F. Bourgeot - J. Valès	Réf. dossier :	AERMC PE

LOCALISATION PLAN D'EAU

Commune :	Longeau-Percey (52)		
Plan d'eau marnant :	oui	Superficie du bassin versant :	691 km ²
HER :	HERI : 10-Côtes calcaire Est	Superficie du plan d'eau :	1,5 km ²
Profondeur maximale :	9,7 m	Profondeur moyenne :	m
Carte : (extrait IGN 1/25 000 ème)			<p>The map shows the 'Réservoir de Vingeanne ou de Villegusien' located between the villages of Longeau-Percey and Villegusien-le-Lac. A red rectangle marks 'Point de prélèvement Photo 1'. Another red rectangle marks 'Photo 2' showing a view across the reservoir towards the north. A north arrow is in the top right corner.</p>

LOCALISATION STATION

Coordonnées du point :	relevées sur :	GPS		
Lambert 93 (système français) :	(en m)	X	Y	Altitude
		873493	6740202	299
WGS 84 (système international) :	données GPS (en dms)	N		Altitude (m)
Profondeur :	3,5 m			
Photos du site : (indiquer l'angle de prise de vue sur la carte)				
Remarques et observations :	<p>Profondeur = Profondeur maximale mesurée le jour du prélèvement.</p> <p>Photo 1: Vue vers le Sud depuis le point de prélèvement. Photo 2: Vue vers le Nord depuis le point de prélèvement.</p>			

Relevé phytoplanctonique en plan d'eau

v.3.3.2

DONNEES GENERALES CAMPAGNE

juin 2012

Plan d'eau :	Retenue de Villegusien	Date :	29/07/2014
Station ou n° d'échantillon :	Point profond	Code lac :	U0905003
Organisme / opérateur :	GREBE / F. Bourgeot - J. Valès	Réf. dossier :	AERMC PE

STATION					
Coordonnées de la station	relevées sur :	GPS			
Lambert 93 (système français)	(en m)	X	Y	Altitude (m) :	299,3
		873493	6740202		
WGS 84 (système international)	données GPS (en dms)	N		Altitude (m) :	
Profondeur (m) :		3,5			
Conditions d'observation :	Instensité du vent :	moyen			
	météo :	temps humide			
	Surface de l'eau :	agitée			
	Hauteur des vagues :				m
	Bloom algal :	oui			
Marnage :	oui	niveau des eaux par rapport à la végétation de ceinture (pour les plans d'eau marnant) :		3,7	m
Remarques :					

PRELEVEMENTS					
Heure début de relevé :	12:50	Heure de fin de relevé :	15:00		
Prélèvements réalisés :	<input checked="" type="checkbox"/> phytoplancton <input checked="" type="checkbox"/> chlorophylle <input checked="" type="checkbox"/> eau		Matériel employé :	Bouteille intégratrice <input checked="" type="checkbox"/> Bouteille Van Dorn Pompe	
	<input type="checkbox"/> sédiment <input type="checkbox"/> macrophytes <input type="checkbox"/> oligochètes <input type="checkbox"/> autres, préciser :		Volume filtré pour la chlorophylle (ml) :	650	
Remarques, observations :	<p>Surface de l'eau : agitée, hauteur des vagues : non renseignée</p> <p>Dépôt des échantillons d'eau au laboratoire le 29/07 à 16:20.</p> <p>Prélèvement de fond réalisé à 3,25 m.</p> <p>Prélèvement intégré phytoplancton/chlorophylle réalisé à la bouteille verticale type Van Dorn.</p> <p>Prélèvement intégré et fond physico-chimie et micropolluants réalisés à la bouteille verticale type Van Dorn (Echantillonnage ponctuel sur 1.12 m).</p> <p>Température de l'air : 17,7°C - Pression atmosphérique : 984 hpa</p>				

Relevé phytoplanctonique en plan d'eau

v.3.3.1

DONNEES GENERALES PLAN D'EAU - STATION

Septembre 2009

Plan d'eau :	Retenue de Villegusien	Date :	09/09/2014
Nom station :	Point profond	Code station :	U0905003
Organisme / opérateur :	GREBE / F. Bourgeot - C. Louche	Réf. dossier :	AERMC PE

LOCALISATION PLAN D'EAU

Commune :	Longeau-Percey (52)		
Plan d'eau marnant :	oui	Superficie du bassin versant :	691 km ²
HER :	HERI : 10-Côtes calcaire Est	Superficie du plan d'eau :	1,5 km ²
Profondeur maximale :	9,7 m	Profondeur moyenne :	m
Carte : (extrait IGN 1/25 000 ème)			<p>The map shows the 'Réservoir de Vingeanne ou de Villegusien' (Villegusien reservoir) situated between the towns of Longeau-Percey and Villegusien-le-Lac. A red rectangle marks 'Point de prélèvement Photo 1' on the western shore. Another red rectangle marks 'Photo 2' showing a sailboat on the water. A north arrow indicates the cardinal directions.</p>

LOCALISATION STATION

Coordonnées du point :	relevées sur :	GPS				
Lambert 93 (système français) :	(en m)	X	Y	Altitude		
		873468	6740203	304		
WGS 84 (système international) :	données GPS (en dms)	N	Altitude (m)			
Profondeur :	2 m					
Photos du site : (indiquer l'angle de prise de vue sur la carte)						
Remarques et observations :	<p>Profondeur = Profondeur maximale mesurée le jour du prélèvement.</p> <p>Photo 1: Vue vers l'extoirre depuis le point de prélèvement. Photo 2: Vue vers le nord-ouest depuis la mise à l'eau.</p>					

Relevé phytoplanctonique en plan d'eau

v.3.3.2

DONNEES GENERALES CAMPAGNE

juin 2012

Plan d'eau :	Retenue de Villegusien	Date :	09/09/2014
Station ou n° d'échantillon :	Point profond	Code lac :	U0905003
Organisme / opérateur :	GREBE / F. Bourgeot - C. Louche	Réf. dossier :	AERMC PE

STATION					
Coordonnées de la station	relevées sur :	GPS			
Lambert 93 (système français)	(en m)	X	Y	Altitude (m) :	304,0
		873468	6740203		
WGS 84 (système international)	données GPS (en dms)	N		Altitude (m) :	
Profondeur (m) :				2,3	
Conditions d'observation :	Instensité du vent :	nul			
	météo :	temps sec fortement nuageux			
	Surface de l'eau :	lisse			
	Hauteur des vagues :				m
	Bloom algal :	oui			
Marnage :	oui	niveau des eaux par rapport à la végétation de ceinture (pour les plans d'eau marnant) :		4,9	m
Remarques :					

PRELEVEMENTS										
Heure début de relevé :	15:30	Heure de fin de relevé :	17:30							
Prélèvements réalisés :	<input checked="" type="checkbox"/> phytoplancton <input checked="" type="checkbox"/> chlorophylle <input checked="" type="checkbox"/> eau			Matériel employé :						
	<input checked="" type="checkbox"/> sédiment <input type="checkbox"/> macrophytes <input type="checkbox"/> oligochètes <input type="checkbox"/> autres, préciser :									
		Volume filtré pour la chlorophylle (ml) :		1000						
		Volume de Lugol ajouté pour le phytoplancton (ml) :		4						
Surface de l'eau : lisse, hauteur des vagues : 0 m. Dépot des échantillons d'eau au transporteur (TNT Besançon) 09/09/14 à 18:50. Dépot des sédiments à la poste de Miserey-Salines le 10/09/14 à 11:45.										
Prélèvement de fond réalisé à 2 m. Prélèvement intégré phytoplancton/chlorophylle réalisé à la bouteille verticale type Van Dorn. Prélèvement intégré et fond physico-chimie et micropolluants réalisés à la bouteille verticale type Van Dorn (Echantillonnage ponctuel continu sur 0.60 m). Température de l'air : 26,4°C - Pression atmosphérique : 987 hpa										
Remarques, observations :										

PRELEVEMENTS DE SEDIMENTS 2014

PLAN D'EAU :	Nom : Code :	Lac des Rousses V2405043	Retenue de Panthier U1305043	Lac de l'Entonnoir U2035043
Date:		11/09/2014	09/09/2014	10/09/2014
Appareil de prélèvement :		Carottier <input type="checkbox"/> Benne Ekman <input checked="" type="checkbox"/>	Carottier <input type="checkbox"/> Benne Ekman <input checked="" type="checkbox"/>	Carottier <input type="checkbox"/> Benne Ekman <input checked="" type="checkbox"/>
Point de prélèvement :		Point profond	Point profond	Point profond
Coordonnées GPS (Lambert 93 en m) :		x= 937176 y= 6605314 21	x= 823596 y= 6683569 7,5	x= 944418 y= 6641679 8,1
Profondeur (m) :				
Aspect et nature des sédiments (couleur, odeur, texture (sableuse, fine), charge en débris organiques)...		Sédiments limono-tourbeux gris bruns	Limon organique noirâtre. Odeur H ₂ S.	Limono-tourbeux gris brun

PLAN D'EAU :	Nom : Code :	Retenue de Vouglans V23-4003	Retenue de Chazilly U1305003	Lac de Vaire-Vesoul U053003
Date:		12/09/2014	08/09/2014	10/09/2014
Appareil de prélèvement :		Carottier <input type="checkbox"/> Benne Ekman <input checked="" type="checkbox"/>	Carottier <input type="checkbox"/> Benne Ekman <input checked="" type="checkbox"/>	Carottier <input type="checkbox"/> Benne Ekman <input checked="" type="checkbox"/>
Point de prélèvement :		Point profond	Point profond	Point profond
Coordonnées GPS (Lambert 93 en m) :		x= 905393 y= 6593413 85,3	x= 821415 y= 6677556 10,3	x= 933897 y= 6730797 2
Profondeur (m) :				
Aspect et nature des sédiments (couleur, odeur, texture (sableuse, fine), charge en débris organiques)...		Limono-argileux brun-gris	Limons fins gris à gris foncés	Argilo-limoneux beige

PLAN D'EAU :	Nom : Code :	Retenue de Villegusien (Vingeanne) U905003	Retenue de Champagney U-2003	
Date:		09/09/2014	15/09/2014	
Appareil de prélèvement :		Carottier <input type="checkbox"/> Benne Ekman <input checked="" type="checkbox"/>	Carottier <input type="checkbox"/> Benne Ekman <input checked="" type="checkbox"/>	<input type="checkbox"/>
Point de prélèvement :		Point profond	Point profond	
Coordonnées GPS (Lambert 93 en m) :		x= 873493 y= 6740202 2,3	x= 979429 y= 6737959 24,6	
Profondeur (m) :				
Aspect et nature des sédiments (couleur, odeur, texture (sableuse, fine), charge en débris organiques)...		Limono-argileux gris-brun	Limono-argileux brun-rouge	

Annexe 4
Rapport d'analyse phytoplancton



Rapport d'analyse Phytoplancton

définitif

provisoire

Édité le : 20/01/15

Page 1 sur 7

Agence de l'Eau Rhône-Méditerranée Corse
A l'attention de Mr Loïc IMBERT
2-4 allée de Lodz
69363 Lyon cedex 07

Le rapport établi ne concerne que les échantillons soumis à l'essai.
La reproduction de ce rapport d'analyse n'est autorisée que sous sa forme intégrale.

Un rapport provisoire n'est pas signé et seul l'exemplaire définitif signé a une valeur contractuelle.

Ce rapport d'analyses transmis par courrier électronique ou sur un support informatique n'a pas de valeur contractuelle.
Seule la version originale « format papier » de ce rapport d'analyses définitif signé fait foi.

RAPPORT n°: PHYTO.05/03-2014

Dossier : Surveillance de la qualité des plans d'eau du nord du bassin Rhône Méditerranée - Lot n°1

Station : Villegusien (Vingeanne)-U0905003

Prélèvements : Effectués par le GREBE selon le Protocole standardisé d'échantillonnage, de conservation, et d'observation du phytoplancton en plan d'eau (IRSTEA, Septembre 2009).
Hors accréditation COFRAC

Prélèvements effectués les : 04/03/2014 ; 21/05/2014 ; 29/07/2014 ; 09/09/2014

Objet soumis à l'analyse : Phytoplancton

RESULTATS : Analyses effectuées par le GREBE selon le Protocole standardisé d'échantillonnage, de conservation et d'observation du phytoplancton en plan d'eau (IRSTEA, Septembre 2009), basé sur la Méthode Utermöhl (NF EN 15204, AFNOR, 2006).

Les résultats présentés ci-après sont : - listes floristiques.

Déterminations réalisées par : Bianca Touchart et Jeanne Rigaut.



Bianca TOUCHART, Technicienne hydrobiologiste

1^{ère} Campagne (suite)

Tetraedron minimum var. tetralobulatum	CHLOROPHYCEAE	TEAMTE	Cel.	20332	12	4,66E-02	133,27
Tetraselmis cf.cordiformis	CHLOROPHYCEAE	NEW107	Cel.	5981	9	1,99E-01	99,95
Tetrastrum staurogeniaeforme	CHLOROPHYCEAE	TERSTA	Cel.	5904	4	2,13E-03	44,42
Tetrastrum triangulare	CHLOROPHYCEAE	TERTRI	Cel.	9300	8	5,77E-03	88,84
Ulnaria ulna	FRAGILARIOPHYCEAE	ULNULN	Cel.	6849			
Ulnaria ulna var. acus	FRAGILARIOPHYCEAE	ULNUAC	Cel.	19120	8	4,98E-02	88,84

Commentaires : Présence diffuse de très petites cellules (potentiellement des bactéries ou des cyanobactéries picoplanctoniques).

3^{ème} Campagne (suite)

Scenedesmus ovalisemus	CHLOROPHYCEAE	SCEOVA	Cel.	25666			
Spermatozopsis exultans	CHLOROPHYCEAE	SZOEXU	Cel.	9335	1	3,83E-04	42,58
Staurastrum	ZYGONEMATOPHYCEAE	STASPX	Cel.	1128			
Tetraedron caudatum	CHLOROPHYCEAE	TEACAU	Cel.	5885	10	1,87E-01	425,78
Tetraedron minimum	CHLOROPHYCEAE	TEAMIN	Cel.	5888	11	1,64E-01	468,36
Tetraedron regulare	CHLOROPHYCEAE	TEAREG	Cel.	5891			
Tetraedron triangulare	CHLOROPHYCEAE	TEATRI	Cel.	5893	31	4,26E-01	1319,92
Tetrastrum staurogeniaeforme	CHLOROPHYCEAE	TERSTA	Cel.	5904	8	1,63E-02	340,62
Trachelomonas	EUGLENOPHYCEAE	TRASPX	Cel.	6527	3	2,05E-01	127,73
Trachelomonas hispida	EUGLENOPHYCEAE	TRAHIS	Cel.	6531	1	1,55E-01	42,58
Trachelomonas volocina	EUGLENOPHYCEAE	TRAVOL	Cel.	6544	2	1,66E-01	85,16
Treubaria triappendiculata	CHLOROPHYCEAE	TRETRI	Cel.	5913	2	4,46E-02	85,16

Commentaires : L'espèce *Anabaena flos-aquae* est potentiellement productrice d'anatoxines et de microcystines. *Aphanizomenon gracile* est potentiellement productrice de saxitoxines. Oscillatoires indéterminées fines : cellules indiscernables.

4^{ème} Campagne : le 09 Septembre 2014

Liste Floristique

Nom Taxon	Classe	Code	Type	Code	Nombre	Biovolume	Nombre
		Taxon	Compté	SANDRE	Cf	calculé	objets
					compté	mm ³ /l	algues/ml
Anabaena vigueriei	CYANOPHYCEAE	ANAVIG	Cel.	31797	1	95	1,95E+00
Aphanizomenon flos-aquae	CYANOPHYCEAE	APHFLO	Cel.	6291		84	1,20E+00
Aphanizomenon gracile	CYANOPHYCEAE	APHGRA	Cel.	6292		135	4,03E+00
Aphanocapsa holstica	CYANOPHYCEAE	APAHOL	Cel.	6312	1	10	1,24E-03
Chlamydomonas <10µm	CHLOROPHYCEAE	NEW130	Cel.	6016		1	2,86E-02
Chlorophycées flagellées Indéterminées diam 5 - 10 µm	CHLOROPHYCEAE	INDFLS	Cel.	20154		1	6,47E-02
Cryptomonas	CRYPTOPHYCEAE	CRYSPX	Cel.	6269		13	2,87E+00
Cryptomonas marssonii	CRYPTOPHYCEAE	CRYMAR	Cel.	6273		2	2,99E-01
Desmodesmus bicaudatus	CHLOROPHYCEAE	NEW163	Cel.	37351			
Desmodesmus communis	CHLOROPHYCEAE	DEDCOM	Cel.	31933		4	1,81E-01
Desmodesmus subspicatus	CHLOROPHYCEAE	DED0UB	Cel.	31950		2	6,97E-03
Diatomées centriques (5 µm)	COCINCINODISCOPHYCEAE	NEW011	Cel.	31228		1	8,34E-03
Diatomées centriques Indéterminées <10 µm	COCINCINODISCOPHYCEAE	INDCES	Cel.	31228		5	6,84E-02
Diatomées centriques Indéterminées >10 µm	COCINCINODISCOPHYCEAE	NEW045	Cel.	20160		1	1,14E-01
Elakatothrix gelatinosa	CHLOROPHYCEAE	ELAGEL	Cel.	5664		2	4,75E-02
Goniumonas truncata	CRYPTOPHYCEAE	NEW149	Cel.	35416	1	5	1,29E-01
Monoraphidium circinale	CHLOROPHYCEAE	MONCIR	Cel.	5730		3	9,33E-03
Monoraphidium minutum	CHLOROPHYCEAE	MONMIN	Cel.	5736		1	1,16E-02
Mougeotia	CONJUGATOPHYCEAE	MOUSPX	Cel.	1145		35	1,19E+01
Oocystis	CHLOROPHYCEAE	OOCSPX	Cel.	5752		4	1,19E-01
Oocystis parva	CHLOROPHYCEAE	OOCPAR	Cel.	5758		8	6,27E-02
Oscillatoriaceae Indéterminées	CYANOPHYCEAE	INDOSC	Cel.	20165		11683	3,63E+01
Oscillatoriaceae Indéterminées fines	CYANOPHYCEAE	NEW135	Fil.	20165		8	1,76E-01
Plagioselmis nanoplancitca	CRYPTOPHYCEAE	PLGNAN	Cel.	9634		8	6,97E-02
Planktothrix	CHLOROPHYCEAE	PLA3PX	Cel.	6429			
Tetraedron minimum	CHLOROPHYCEAE	TEAMIN	Cel.	5888		2	8,71E-02
Tetraedron triangulaire	CHLOROPHYCEAE	TEATRI	Cel.	5893		2	8,04E-02
Tetrastrum staurogeniaeforme	CHLOROPHYCEAE	TERSTA	Cel.	5904		4	2,39E-02
Trachelomonas volvocina	EUGLENOPHYCEAE	TRAVOL	Cel.	6544	1		
Trachelomonas volvocinopsis	EUGLENOPHYCEAE	TRAVOC	Cel.	6545	1	1	2,43E-01

Commentaires : L'espèce *Anabaena flos-aquae* est potentiellement productrice d'anatoxines et de microcystines. *Aphanizomenon gracile* est potentiellement producteur de saxitoxines. Le genre *Planktothrix* est potentiellement producteur d'anatoxines-a. Oscillatoriaceae indéterminées fines : cellules indiscernables.

Annexe 5
Rapport d'analyse oligochètes



GREBE

SOCIETE D'ETUDE ET DE CONSEIL - EAU - SOL - ENVIRONNEMENT

un environnement de qualité pour une qualité de vie

Rapport d'analyse IOBL

définitif

provisoire

Page 1/4

Édité le : 14/11/2014

Agence de l'Eau Rhône Méditerranée Corse
A l'attention de M Loïc IMBERT
2-4 allée de Lodz
09363 Cedex 07

Le rapport établi ne concerne que les échantillons soumis à l'essai.
La reproduction de ce rapport d'analyse n'est autorisée que sous sa forme intégrale.

Un rapport provisoire n'est pas signé et seul l'exemplaire définitif signé a une valeur contractuelle.

Ce rapport d'analyses transmis par courrier électronique ou sur un support informatique n'a pas de valeur contractuelle.
Seule la version originale « format papier » de ce rapport d'analyses définitif signé fait foi.

Les analyses ci-dessous ont été réalisées par le GREBE, laboratoire agréé pour le paramètre IOBL par le Ministère en charge de l'Environnement dans les conditions de l'arrêté du 27 octobre 2011.

RAPPORT n° : IOBL.05/05-2014

Dossier : PE AERMC 2014 / IOBL

Plan d'eau : U0905003 - Retenue de la Vingeanne (Villegusien)

Prélèvement(s) : Effectué(s) par GREBE (François BOURGEOT) selon la norme IOBL NF T 90-391
(Mars 2005)
Date : 21 mai 2014

Déterminations réalisées par : Emmanuel MICHAUT

Objet soumis à l'analyse : macro-invertébrés benthiques (oligochètes)

RESULTATS : Détermination de l'indice oligochètes de bioindication lacustre – Norme NF T 90-391 (Mars 2005)

Déterminations réalisées par : nom du technicien ou voir tableau page suivante

Les résultats sont présentés ci-après : - fiche de prélèvement,
- localisation des prélèvements (extrait de carte IGN ou croquis),
- listes faunistiques et notes IOBL,
- éléments complémentaires.

Technicien(ne) en charge des analyses oligochètes



GREBE	Fiche de prélèvement IOBL	Référence : RNR54 - Version : 1 Date d'application : 24/05/2014 Page : 1/1
--------------	----------------------------------	--

Plan d'eau : Réervoir de la Vingeanne (Villegusien)
 Date de prélèvement : 21-mai-14 Heure : 18:20
 Caractéristiques : Artificiel
 Superficie : 1,5 km²
 Prof. Max. : 9,7 m
 Conditions de prélèvements : faciles

Commune : Villegusien-le-Lac
 Département : Haute-Marne (52)
 Altitude (m) : 304

Prélèvements :

Appareil de prélèvement	Carotter <input type="checkbox"/>	Benne Ekman <input checked="" type="checkbox"/>	
Echantillons	P	L1	L2
Coordonnées GPS (Lambert 93 en m) :	X: 873471 Y: 6740202	X: 873079 Y: 6740268	X: 873929 Y: 6740679
Profondeur (m) :	6	3	2.9
Nombre de prélèvements :	3	3	3
Surface échantillonnée (m ²) :	0.0675	0.0675	0.0675
Aspect et nature des sédiments (couleur, odeur, texture (sableuse, fine), charge en débris organiques)	Argilo limoneux beige à gris clair	Sablo-limono-argileux	Sablo-limono-argileux
Nature des débris végétaux (grossiers, fins, feuilles, aiguilles de conifères)	-	-	-
Odeurs			
Elutriation	non	non	non
Tamisage sur le terrain	oui	oui	oui

Localisations des prélèvements - schéma du lac



Commentaires (conditions de prélèvement, éléments remarquables, marnage,...) :

IOBL 05/05-2014

3 sur 4

Liste faunistique Oligochètes (les valeurs indiquent une densité pour 0,1 m²)

		Réservoir de la Vingeanne (Villegusien)			
		21/05/2014			
		P	L1	L2	
		profondeur (m)	6	3	2.9
		Code Sandre			
Naididae					
Tubificinae avec coels capillaires sous-total (%)	Immatures	TUBC	5231	0 0	12 9 11 10
Tubificinae sans coels capillaires sous-total (%)	Immature	TUSS	5230	104	101
	<i>Limnodrilus claparedeanus</i>	LICL	2992	18	14
	<i>Limnodrilus hoffmeisteri</i>	LIHO	2991	0	7
	<i>Limnodrilus profundicola</i>	LIPR	2990	0	1
				98	91
Naididae sous-total (%)	Dero nivea Specaria joshiae* Stylaria lacustris*	DENI SCJO SYLA	20372 19314 960	1 0 0 1	0 0 0 0
Lumbricidae sous-total (%)	<i>Elsenella tetraedra</i>	EITE	939	1 1	0 0
	Densité totale (D) (pour 0,1 m ²)			124	136
					113
Calcul IOBL					
Nombre d'espèces (S)				3	4
IOBL = 8+8log10(D+1)				8.3	10.4
Pourcentage d'espèces sensibles par point				0	0
Pourcentage d'espèces sensibles rapporté à la densité globale du PE				0	0,8
Indice IOBL Total ⁽¹⁾				10.3	

* Espèces sensibles à la pollution dans les sédiments lacustres profonds.

(1) : Paramètre non couvert par l'accréditation (non mentionné par la Norme IOBL NF T90-391 (mars 2005)), mais utilisé dans le calcul de l'Indice oligochètes IOL de la diagnose rapide des plans d'eau du CEMAGREF version Juillet 2003.
-1 point profond P1 et 1 point en profondeur intermédiaire P2 : IOBL total = 1/2 (IOBL P1 + IOBL P2)
-1 point profond P1 et 2 points en profondeur intermédiaire P2 et P3 : IOBL total = 1/2 IOBL P1 + 1/4 IOBL P2 + 1/4 IOBL P3

Eléments complémentaires

Point de prélèvement	P	L1	L2
Oligochètes Abondance dans l'échantillon	87	126	138
Nombre d'oligochètes déterminés	87	106	104
Faune associée	Chironomidae	Chironomidae Bryozoaires Psisidium	Chironomidae Bryozoaires Psisidium Mermithidae
Eléments complémentaires (laboratoire)			
Etutration (oui/non)	non	oui	oui
Maille de tamisage (en mm)	0.5	0.5	0.5
Colmatage du tamis	faible	important	faible
Sous-échantillonnage	-	-	-
Structure des sédiments à la loupe binoculaire après tamisage	50% fibres végétales & 50% argile	60% fibres & débris végétaux, 40% minéral	20% minéral, 80% débris & fibres de végétaux
Autres (présence de colonies bactériennes, d'algues...)	-	-	-